

Optoelectronică, structuri și tehnologii

Curs 3
2013/2014

Orar

▶ Curs

- marti, 17–20, P4
- $2C \Rightarrow 3C$
 - $14 * 2/3 \approx 9.33$
 - $9 \div 10 C$

Lumina ca undă electromagnetică

Capitolul 2

Parametri, dependenta de mediu

$$\eta_0 = \sqrt{\frac{\mu_0}{\varepsilon_0}} = 377\Omega$$

$$c_0 = \frac{1}{\sqrt{\varepsilon_0 \cdot \mu_0}} = 2,99790 \cdot 10^8 \text{ m/s}$$

$n = 1$

$$T = \frac{2\pi}{\omega} = \frac{1}{f}$$

$$\lambda_0 = \frac{2\pi}{\beta} = \frac{c_0}{f}$$

$$\eta = \frac{\eta_0}{n}$$

$$c = \frac{c_0}{n}$$

$n = \sqrt{\varepsilon_r}$

$$T = \frac{2\pi}{\omega} = \frac{1}{f}$$

$$\lambda = \frac{c_0}{n \cdot f} = \frac{\lambda_0}{n}$$

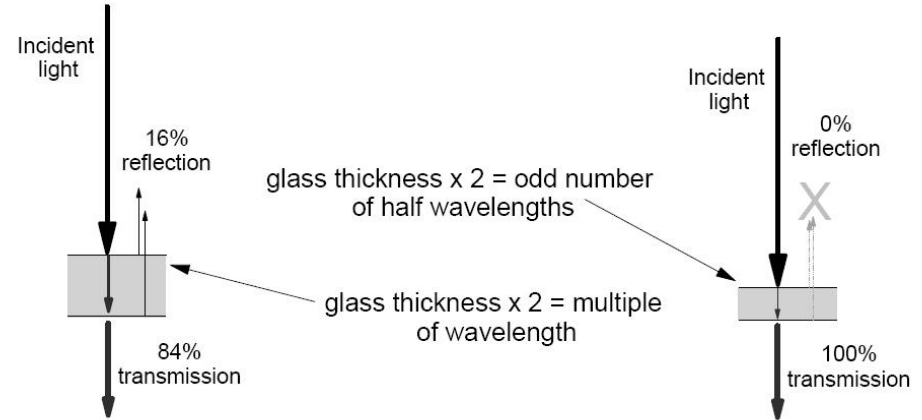
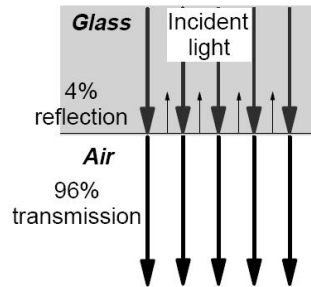
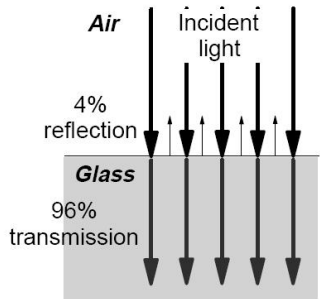
ITU G.692

"the allowed channel frequencies are based on a 50 GHz grid with the reference frequency at 193.10 THz"

SI

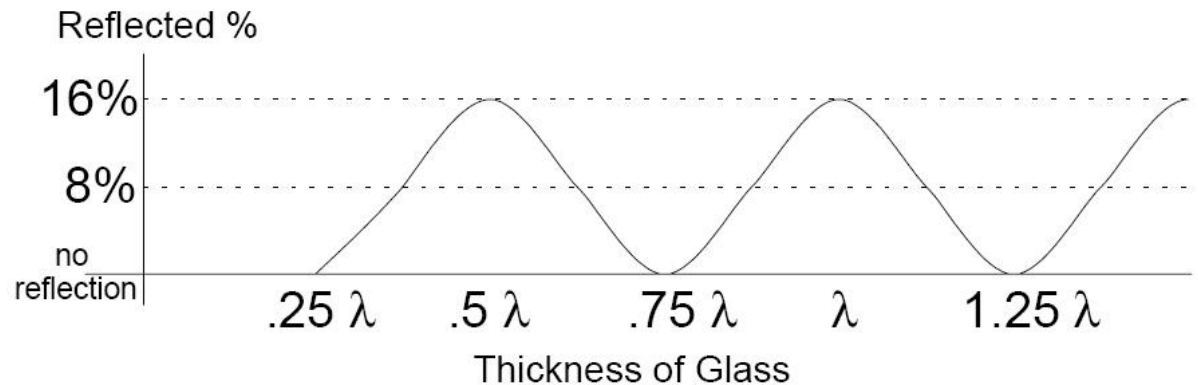
"a source that emits monochromatic radiation of frequency $540 \cdot 10^{12}$ Hz"

Transmisia printr-o lamela



$$\Gamma = \frac{1.5 - 1}{1.5 + 1} = 0.2; \quad r = \Gamma^2 = 0.04 = 4\% \quad \Gamma_{\max} = 0.2 + 0.2; \quad r_{\max} = \Gamma_{\max}^2 = 0.16 = 16\%$$

- ▶ apare interferența între diversele unde reflectate
- ▶ se adună campurile nu puterile
- ▶ lamele antireflexive



Optică geometrică

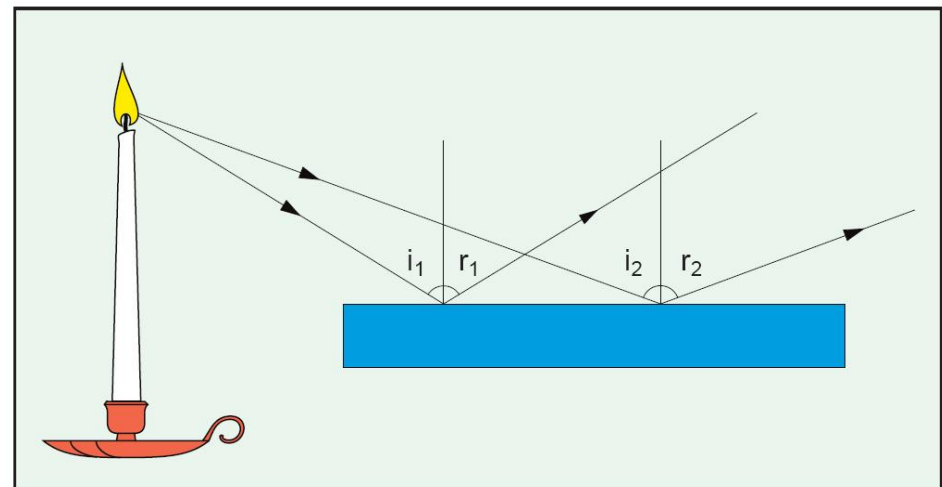
Capitolul 3

Reflexia luminii

- ▶ la suprafata de separatie dintre doua medii, (o parte din) lumina se intoarce in mediul de incidenta
- ▶ unghiul facut de raza incidenta cu normala (ϕ_i) este egal cu unghiul facut de raza reflectata cu normala (ϕ_r)

- ▶ Legea reflexiei

$$\phi_i = \phi_r$$



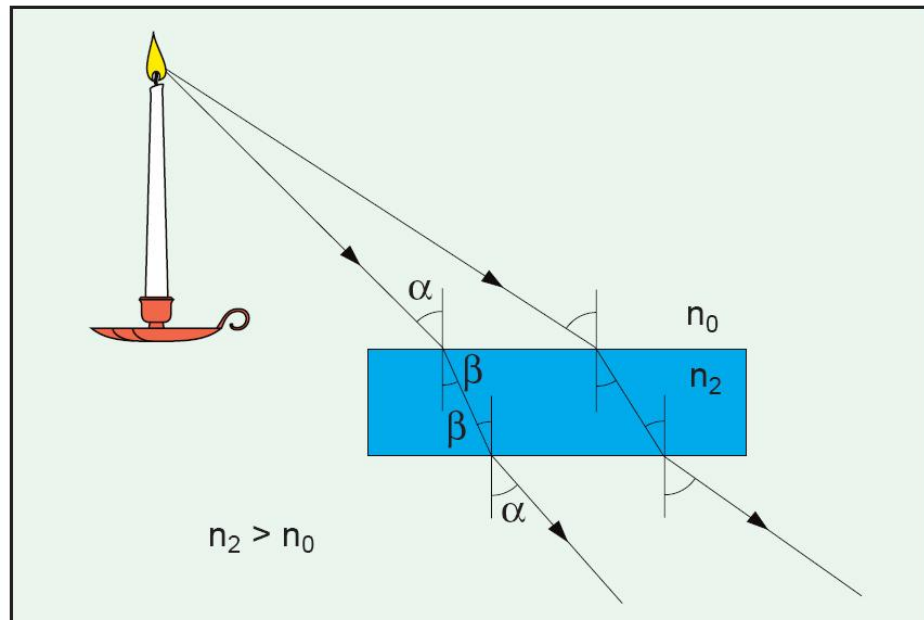
Refractia luminii

- ▶ la suprafata de separatie dintre doua medii, (o parte din) lumina se (poate) propaga in mediul de transmisie sub un unghi diferit de unghiul incident
- ▶ la trecerea in medii mai “dense” (optic) lumina se apropie de normala
- ▶ Legea lui Snell
(a refractiei)

$$n_1 \cdot \sin \phi_i = n_2 \cdot \sin \phi_R$$

ϕ_i - unghi incident

ϕ_R - unghi de refractie



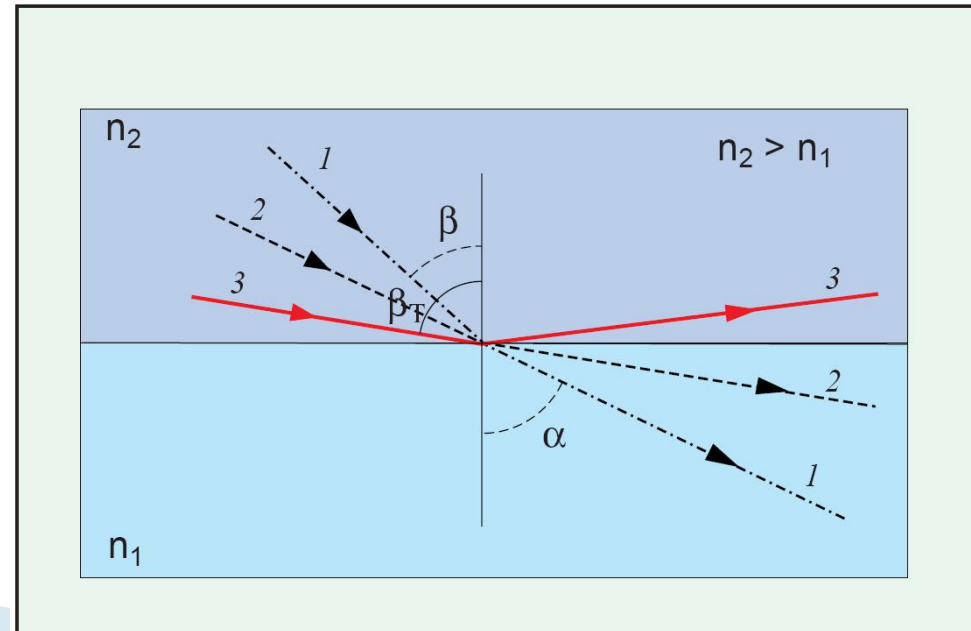
Reflexia totala

- ▶ Apare **numai când** lumina se propaga dintr-un mediu mai dens optic într-un mediu mai puțin dens
- ▶ La intersecția luminii cu suprafața de separație a două medii se întâlnesc în general raze reflectate **și** raze refractate
- ▶ Pentru un unghi de incidență numit **unghi critic**, raza refractată se obține în lungul suprafeței de separație
- ▶ Pentru orice unghi mai mare decât unghiul critic există numai raza reflectată

$$n_1 > n_2; \quad \phi_R = 90^\circ$$

$$n_1 \cdot \sin \phi_C = n_2$$

$$\phi_C = \arcsin\left(\frac{n_2}{n_1}\right)$$



Fotometrie și radiometrie

Capitolul 4

O alta dualitate

- ▶ In optoelectronica lumina poate fi privita din doua puncte de vedere
 - energetic (efect asupra dispozitivului)
 - uman (efect asupra ochiului)
- ▶ Dualitatea marimilor implicate
 - energetice
 - luminoase
- ▶ Candela (cd) este una din cele 7 marimi fundamentale ale SI
 - Cd = intensitatea luminoasa a unei surse ce emite o radiatie monocromatica cu frecventa $540 \cdot 10^{12}$ Hz ($\lambda = 555\text{nm}$ **in vid**) si are o intensitate radianta de $1/683$ W/sr

Flux energetic

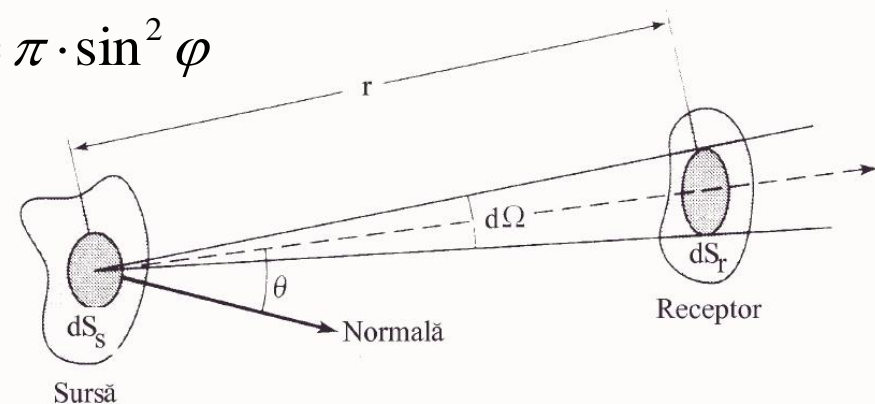
► Flux energetic al luminii

- viteza cu care energia trece printr-o suprafata
- energie/unitatea de timp
- unitatea SI – W

$$\Phi_e = \frac{dE}{dt} \quad [W]$$

► Unghi solid

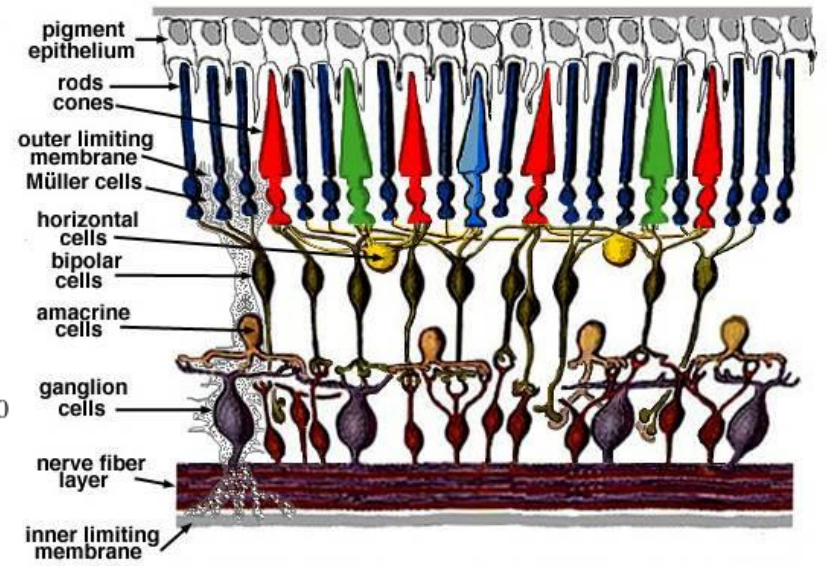
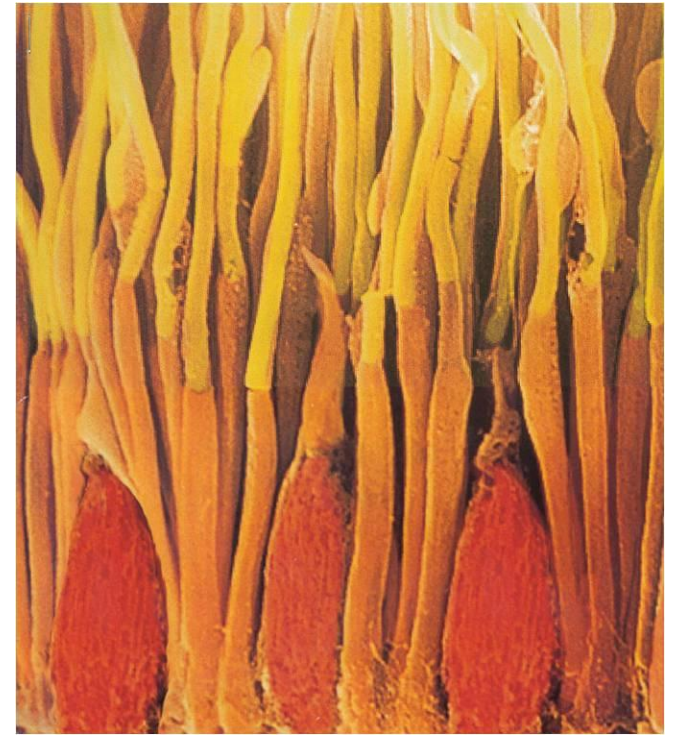
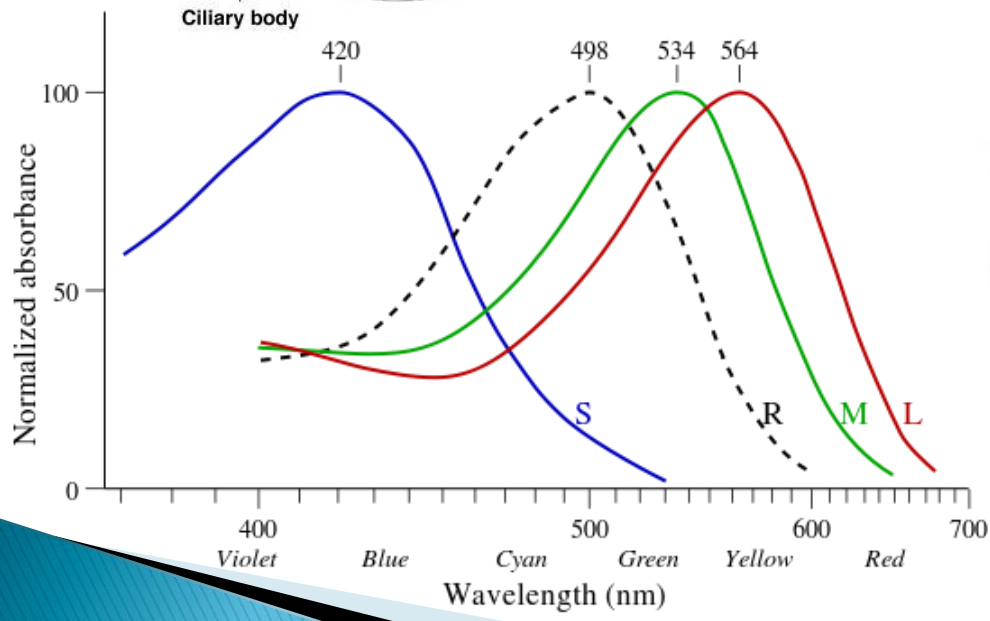
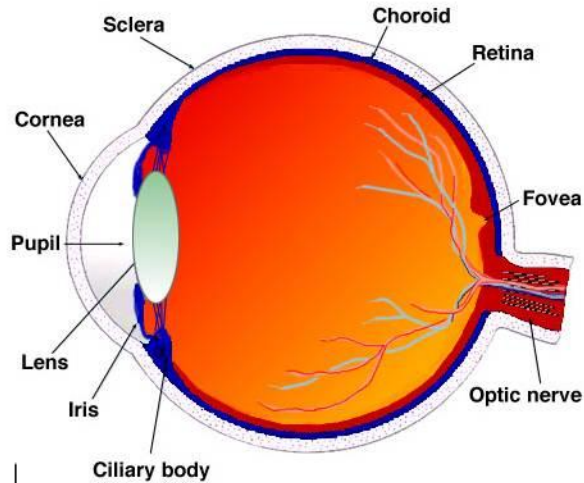
- definitie $\Omega = \frac{A}{r^2} \quad [sr]$
- valoarea maxima: $\Omega = 4\pi \text{ sr}$
- pentru unghiuri mici $\Omega = \pi \cdot \sin^2 \varphi$



Flux luminos

- ▶ Flux luminos, definitie
 - o masura a puterii luminoase percepute de om
- ▶ Unitate de masura – $lm = \text{lumen}$
 - In SI de unitati **lumenul** este definit ca fluxul luminos al unei surse luminoase punctiforme cu intensitatea luminoasa de o candela intr-un unghi solid egal cu 1 sr.
 - la $\lambda = 555\text{nm}$ $\Phi_e = 1\text{W} \Leftrightarrow \Phi_v = 683\text{lm}$
- ▶ Dualitate pentru toate marimile implicate
 - radiometrie – indice “e”
 - fotometri – indice “v”
- ▶ La alte lungimi de unda se tine cont de sensibilitatea relativa medie a ochiului uman

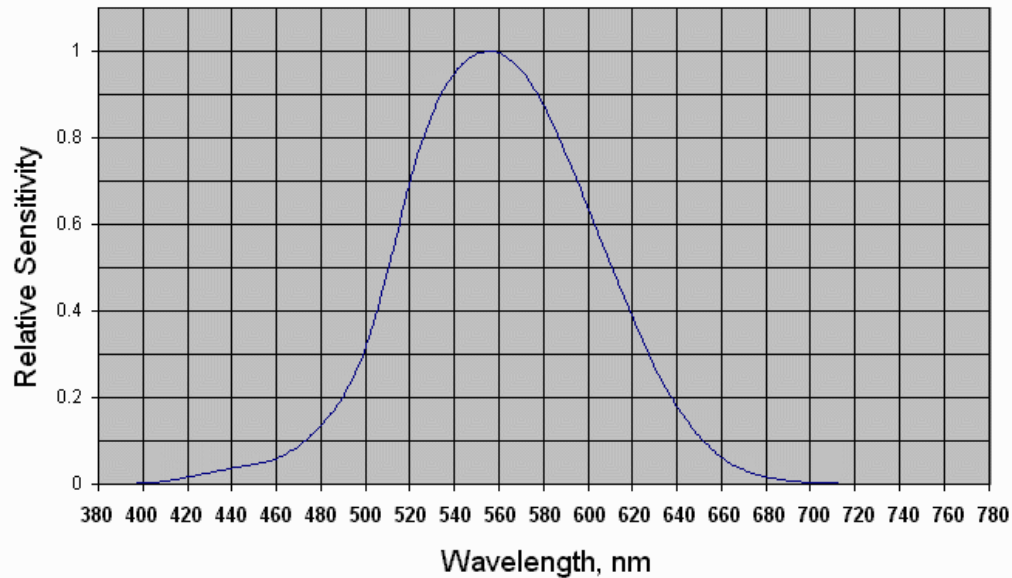
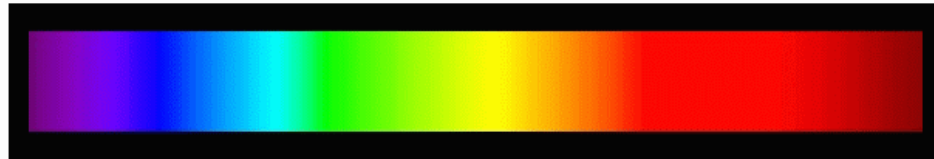
Ochiul uman



Standarde

- ▶ Se încearca definirea omului “standard”
- ▶ CIE – Commission Internationale de l'Éclairage
 - 1931 – luminozitatea relativa standard $V(\lambda)$ – fotopic
 - 1951 – luminozitatea relativa standard $V(\lambda)$ – scotopic
 - 1978 – Vos
 - 2005 – Sharpe, Stockman, Jagla, Jägle
- ▶ Sensibilitatea maxima a ochiului uman
 - vedere diurna (fotopic), $\lambda=555$ nm, $\eta_v = 683$ lm/W
 - vedere nocturna (scotopic), $\lambda=507$ nm, $\eta_v = 1700$ lm/W

CIE $V(\lambda)$



Response of Human Eye Versus Wavelength
(Data from the 1988 C.I.E. Photopic Luminous Efficiency Function)

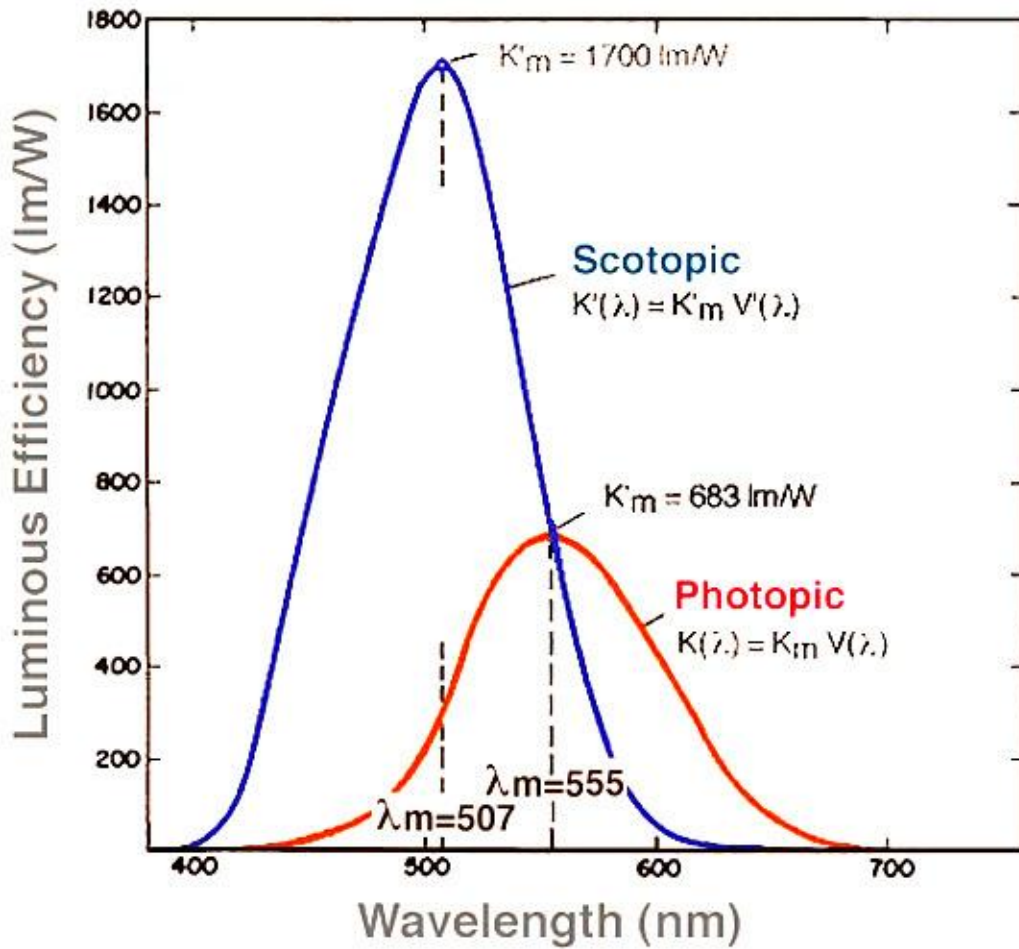


Figure 9. The scotopic and the photopic curves of spectral luminous efficacy (non-normalised values).

effect Purkinje

Curbe normalizate CIE

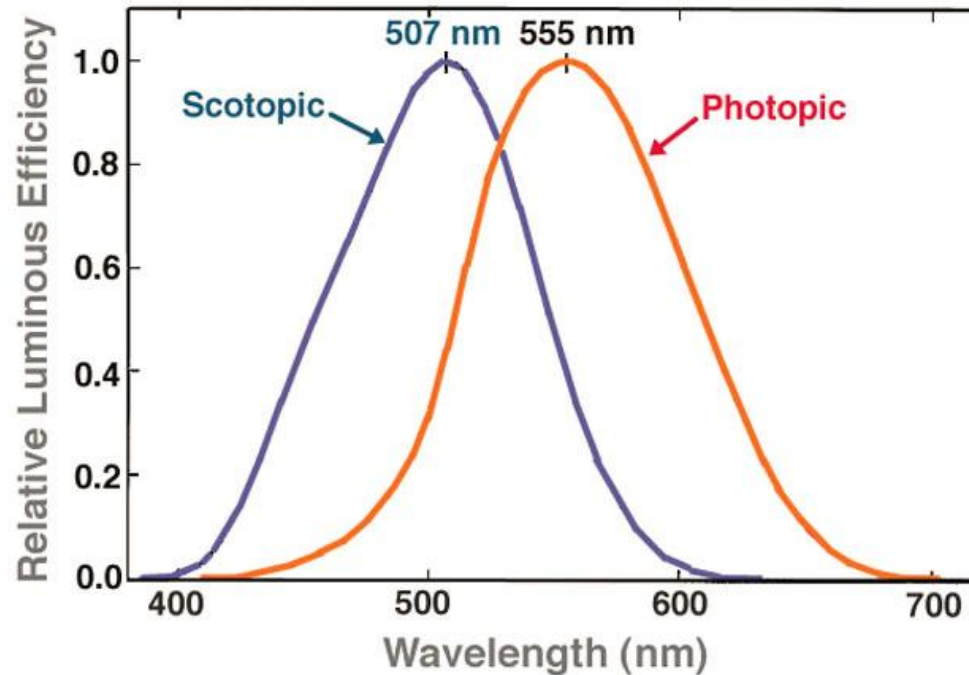


Figure 10. The scotopic and the photopic curves of relative spectral luminous efficiency as specified by the CIE (normalised values).

CIE $V(\lambda)$

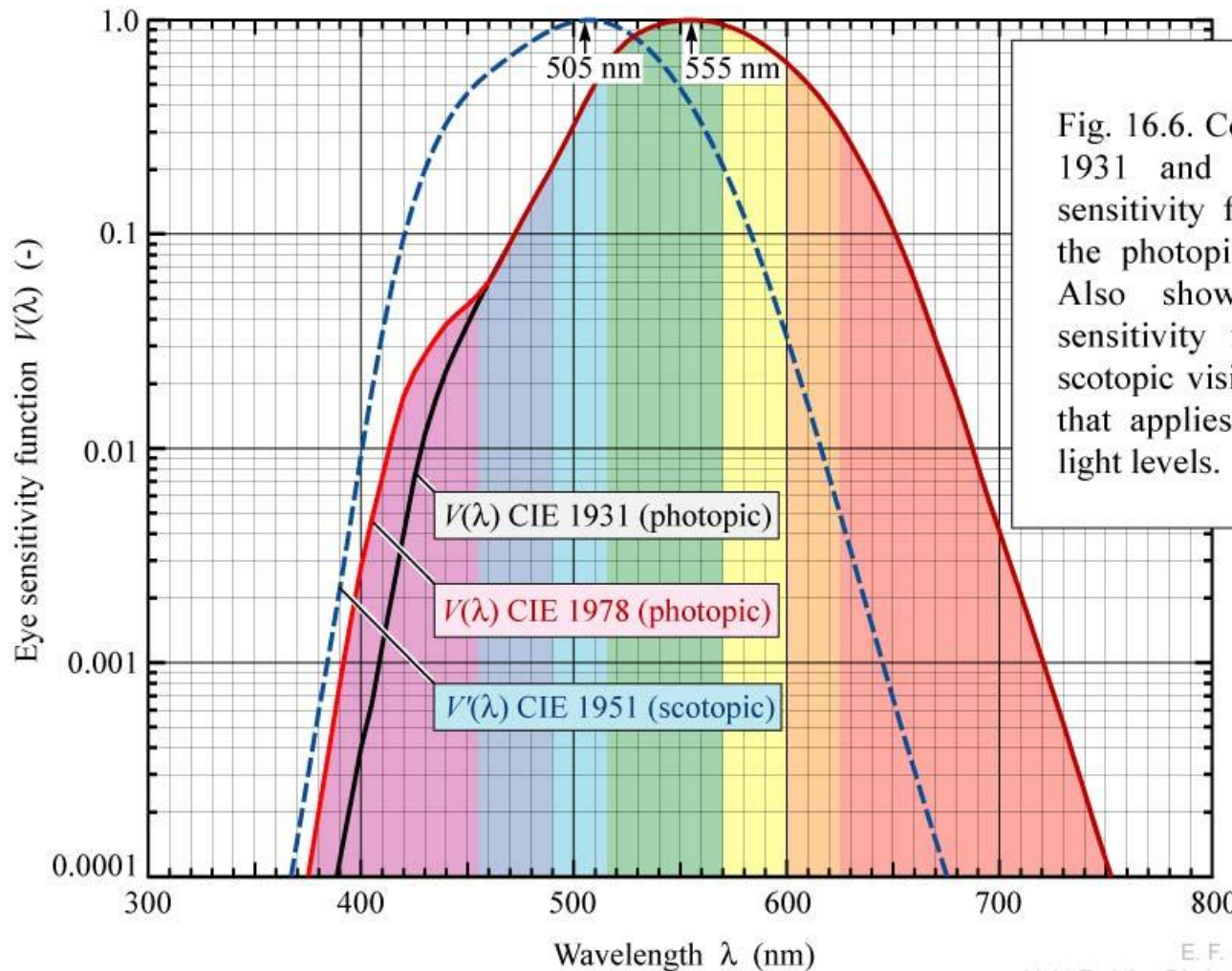


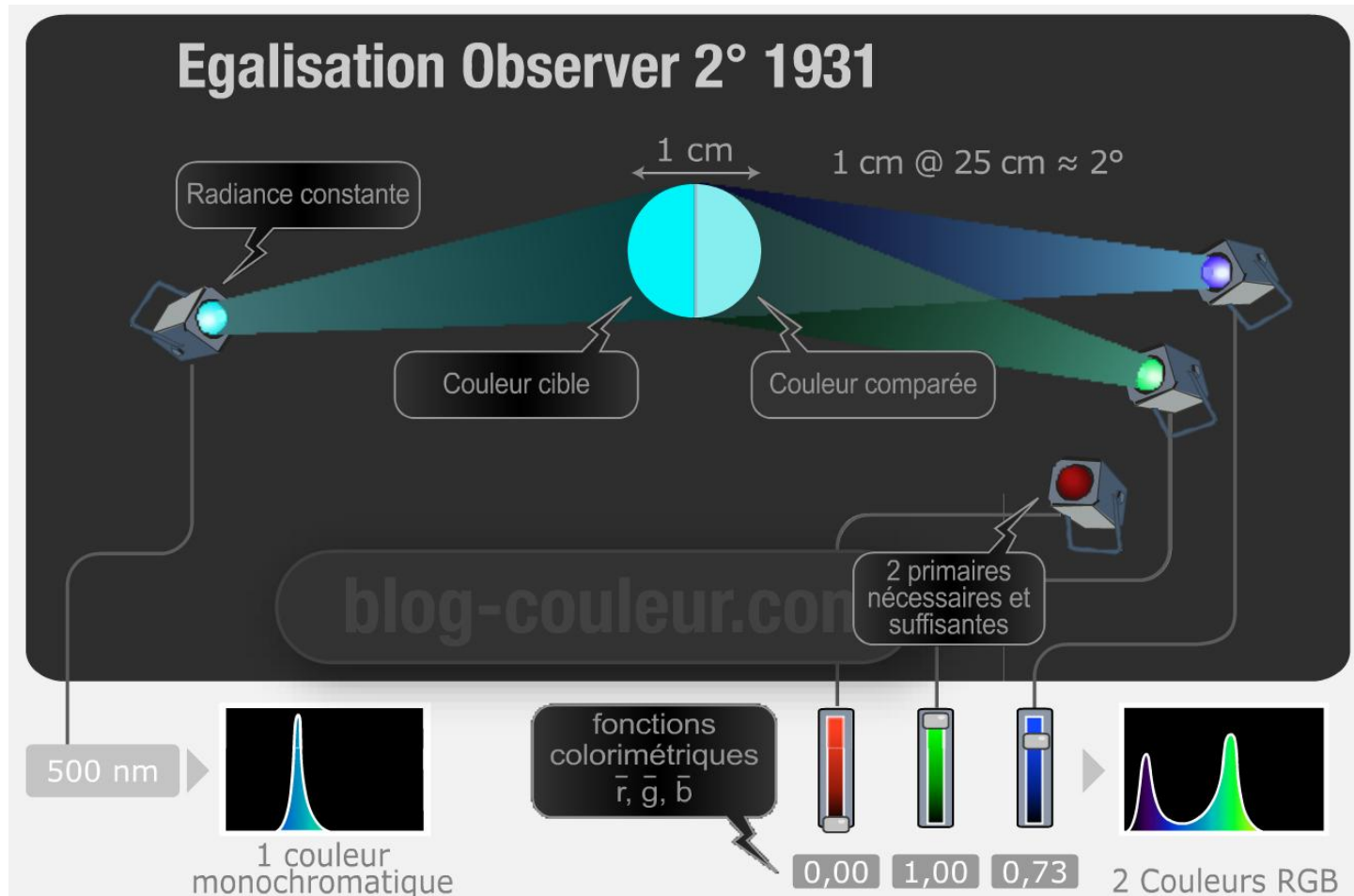
Fig. 16.6. Comparison of CIE 1931 and CIE 1978 eye sensitivity function $V(\lambda)$ for the photopic vision regime. Also shown is the eye sensitivity function for the scotopic vision regime, $V'(\lambda)$, that applies to low ambient light levels.

CIE V(λ) 1931

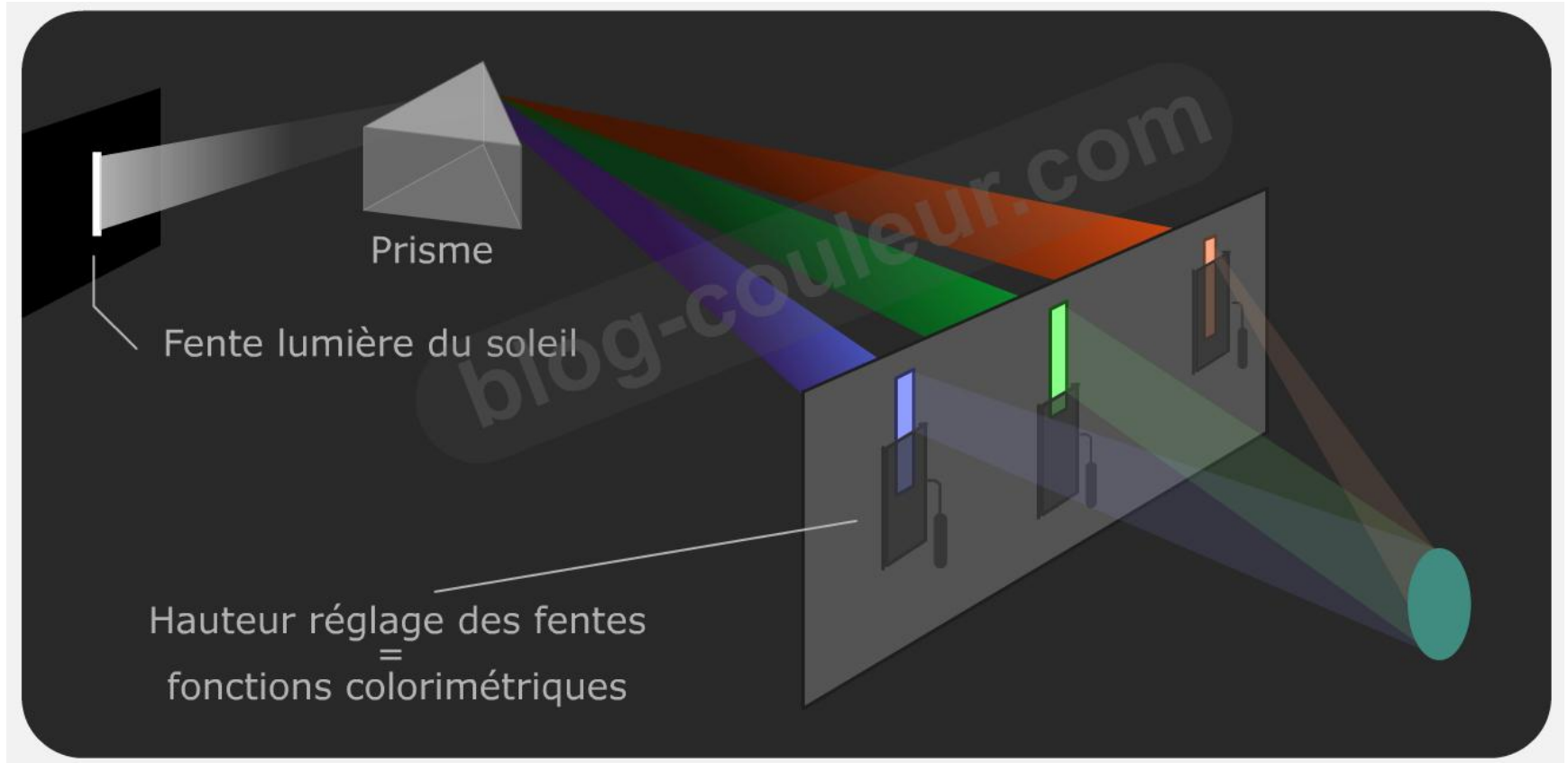
La Commission internationale de l'Éclairage recommande, pour l'usage général, les valeurs suivantes, comme valeurs provisoires pour le facteur de visibilité.

| Longueur d'onde (m μ) | Facteur de Visibilité relative(m μ) | Longueur d'onde | Facteur de Visibilité relative | Longueur d'onde (m μ) | Facteur de Visibilité relative |
|----------------------------|--|-----------------|--------------------------------|----------------------------|--------------------------------|
| 400 | 0.0004 | 530 | 0.862 | 650 | 0.107 |
| 10 | 0012 | 40 | 954 | 60 | 061 |
| 20 | 0040 | 550 | 995 | 70 | 032 |
| 30 | 0116 | 60 | 995 | 80 | 017 |
| 40 | 023 | 70 | 952 | 90 | 0082 |
| 450 | 038 | 80 | 870 | 700 | 0041 |
| 60 | 060 | 90 | 757 | 10 | 0021 |
| 70 | 091 | 600 | 631 | 20 | 00105 |
| 80 | 139 | 10 | 503 | 30 | 00052 |
| 90 | 208 | 20 | 381 | 40 | 00025 |
| 500 | 323 | 30 | 265 | 750 | 00012 |
| 10 | 503 | 40 | 175 | 60 | 00006 |
| 20 | 710 | | | | |

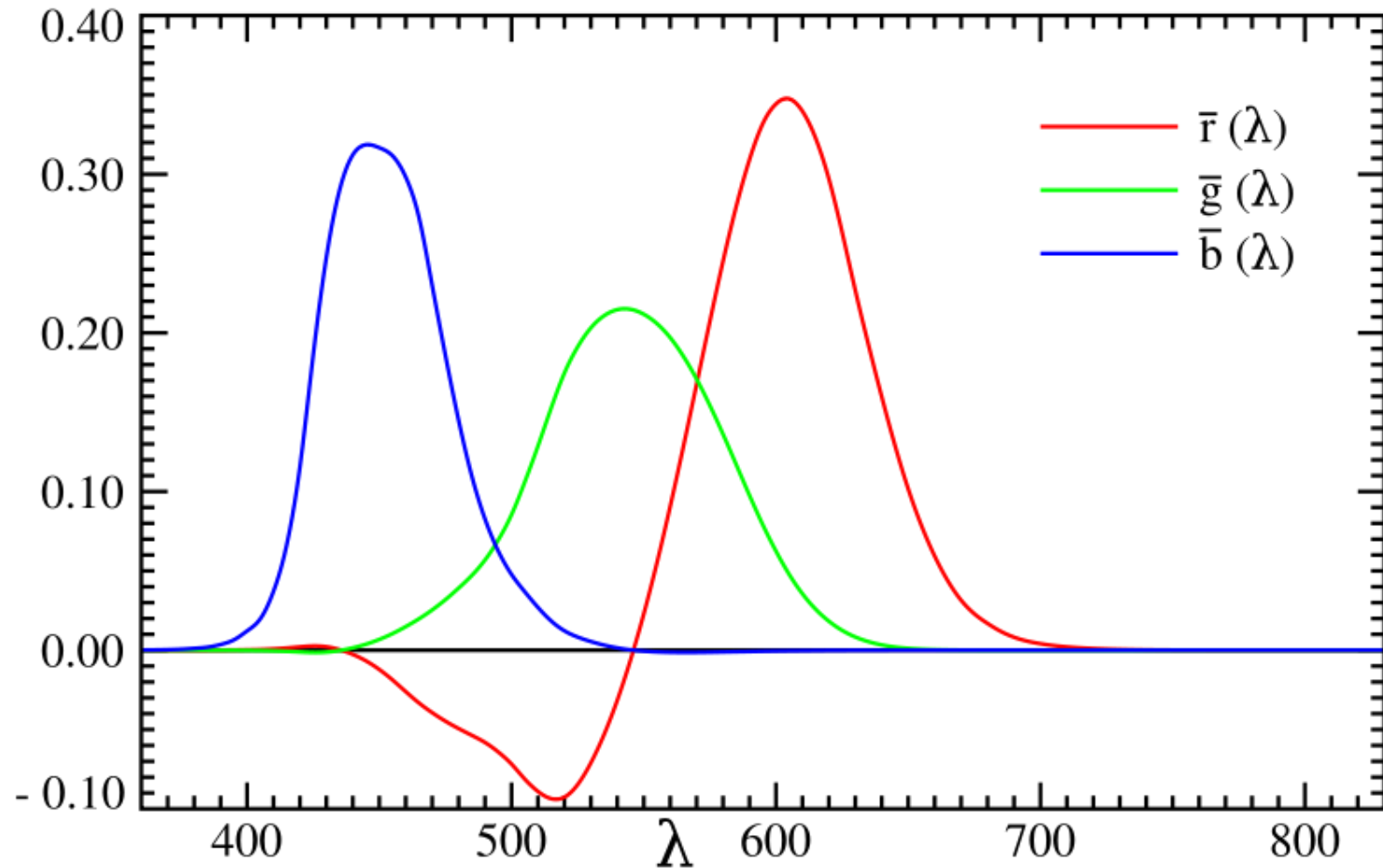
CIE xy 1931



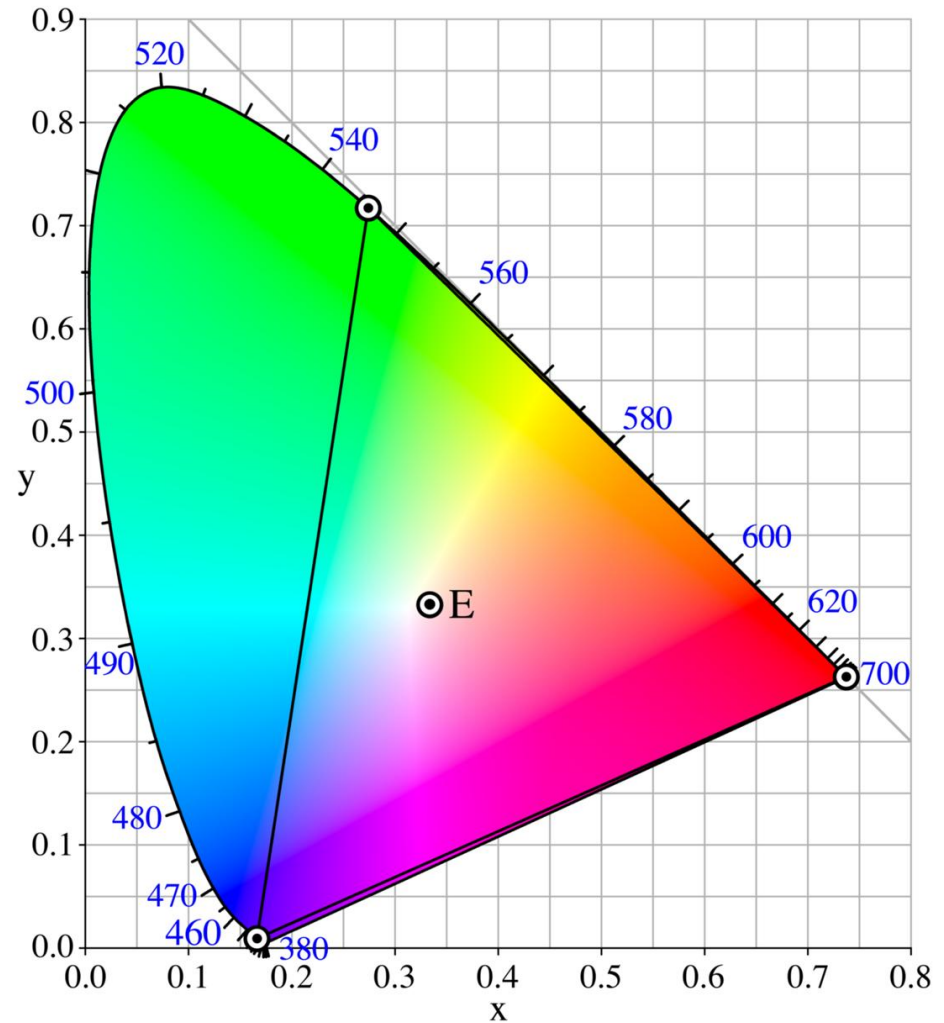
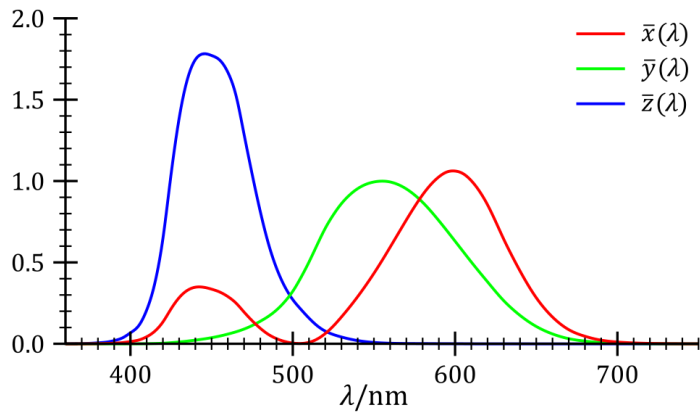
CIE xy 1931



Cantitatea din culorile primare pentru aceeași senzație de culoare



CIE xy 1931



Interpretarea standard a culorilor

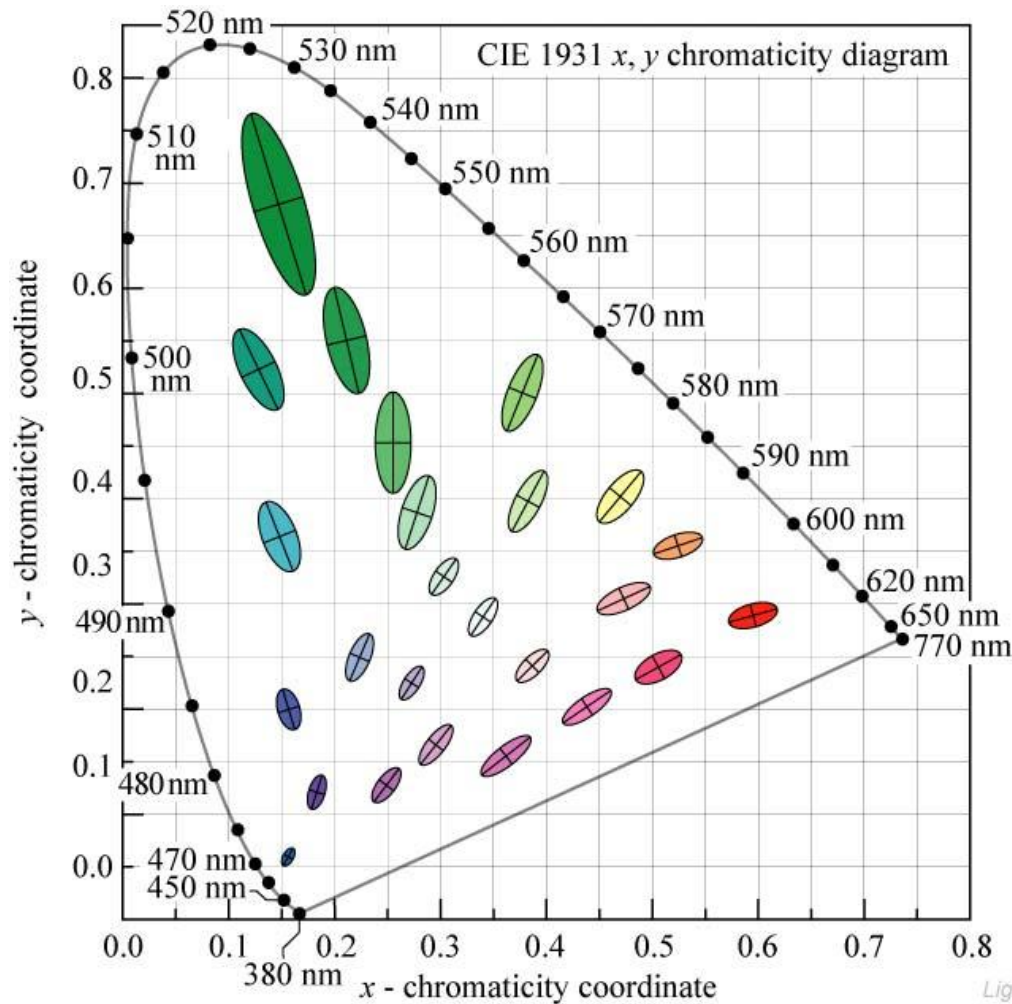
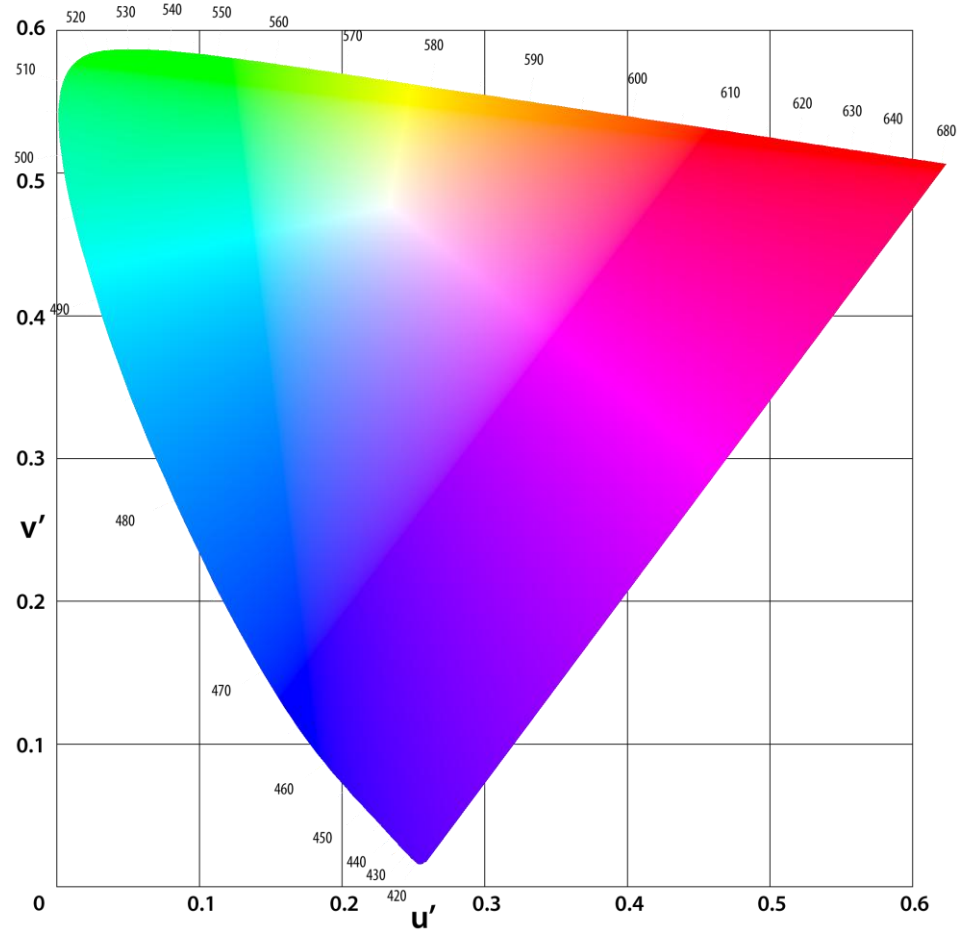


Fig. 17.5. MacAdam ellipses plotted in the CIE 1931 (x , y) chromaticity diagram. The axes of the ellipses are ten times their actual lengths (after MacAdam, 1943; Wright, 1943; MacAdam, 1993).

CIELUV 1976

- ▶ uniformitatea percepției, a "diferenței de culoare"



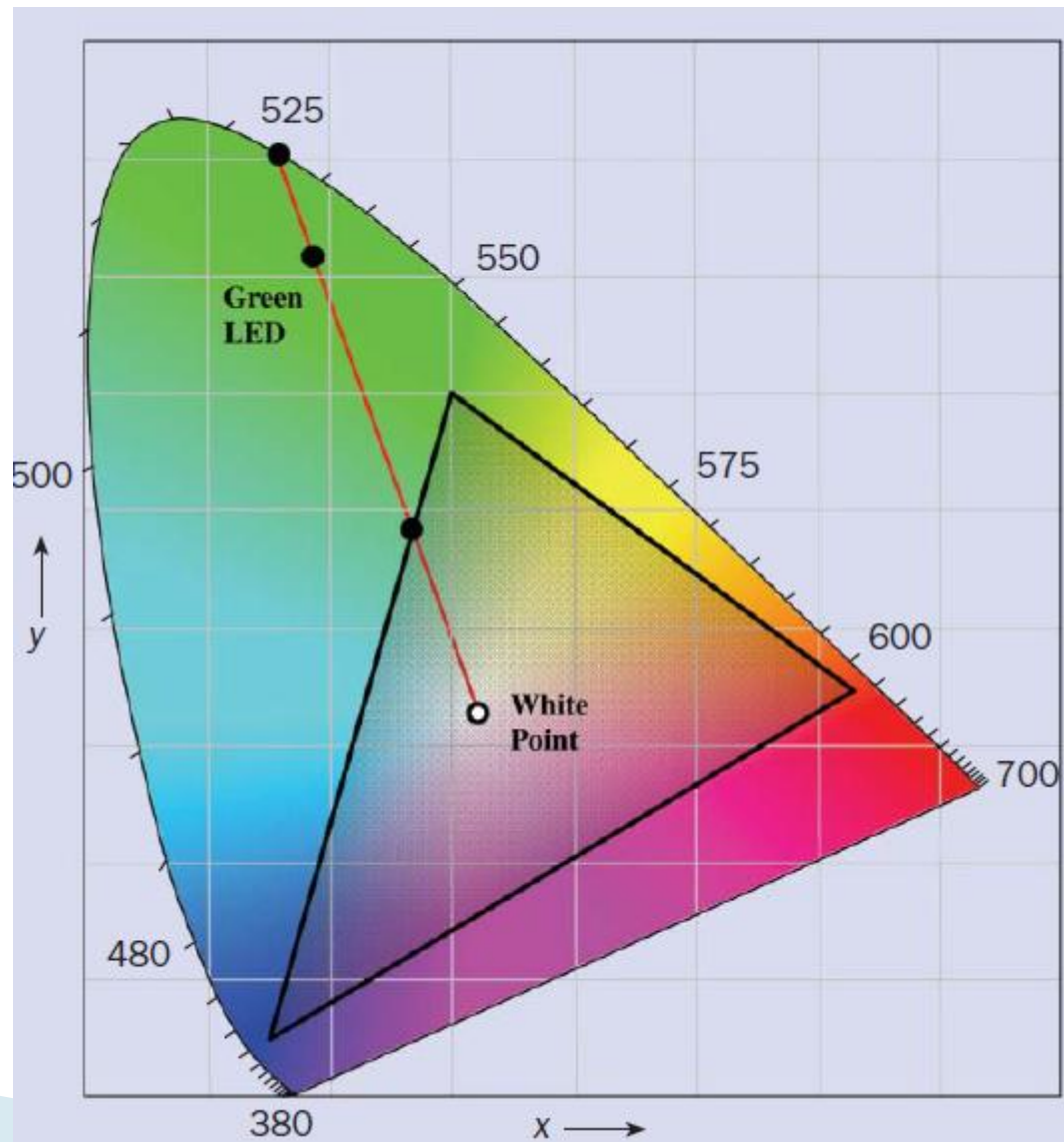
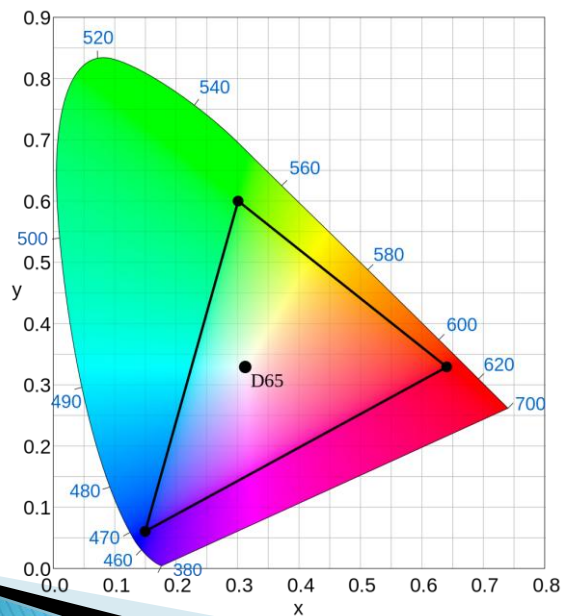
ITU-R BT.709



ITU-R BT.709 phosphor properties

| Phosphor | x | y |
|----------|-------|-------|
| Red | 0.640 | 0.330 |
| Green | 0.300 | 0.600 |
| Blue | 0.150 | 0.060 |

Data refers to xy chromaticity co-ordinates of ITU-R BT.709 phosphors which are used in most CRT displays [1].



Determinarea lungimii de unda dominante

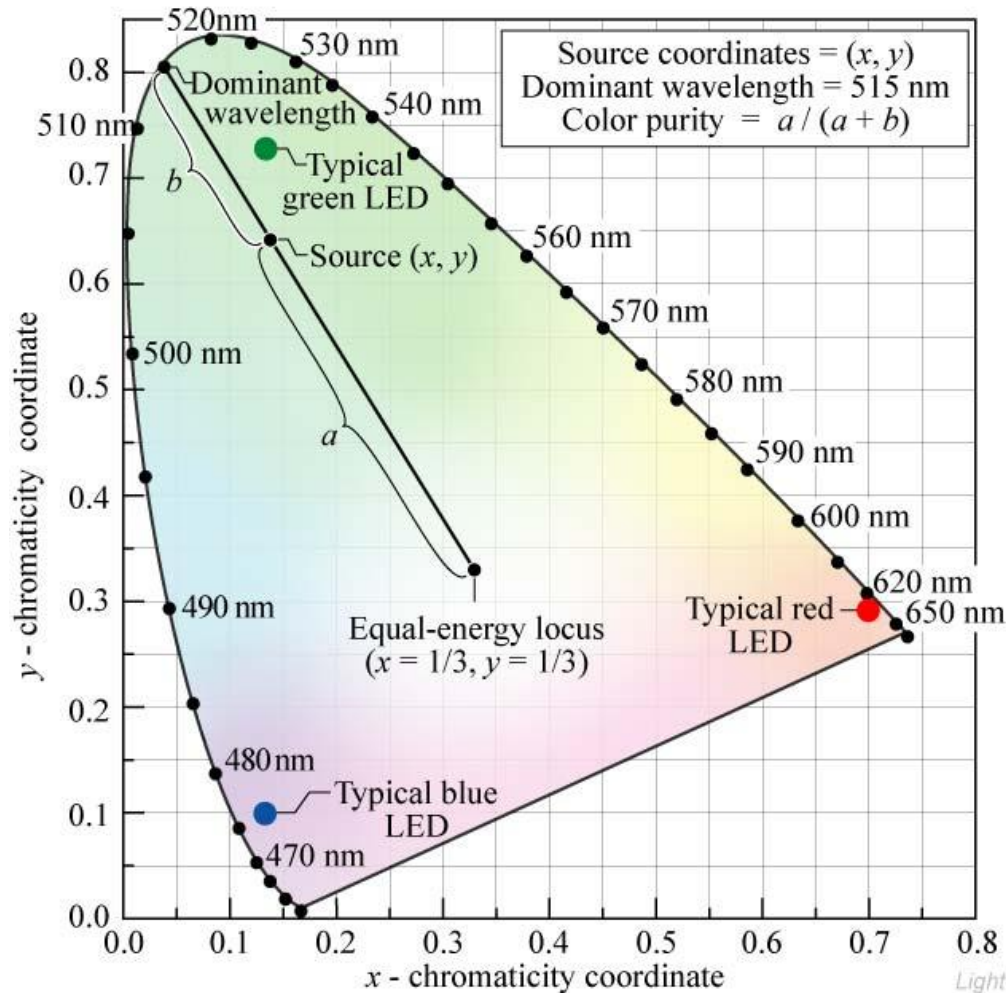
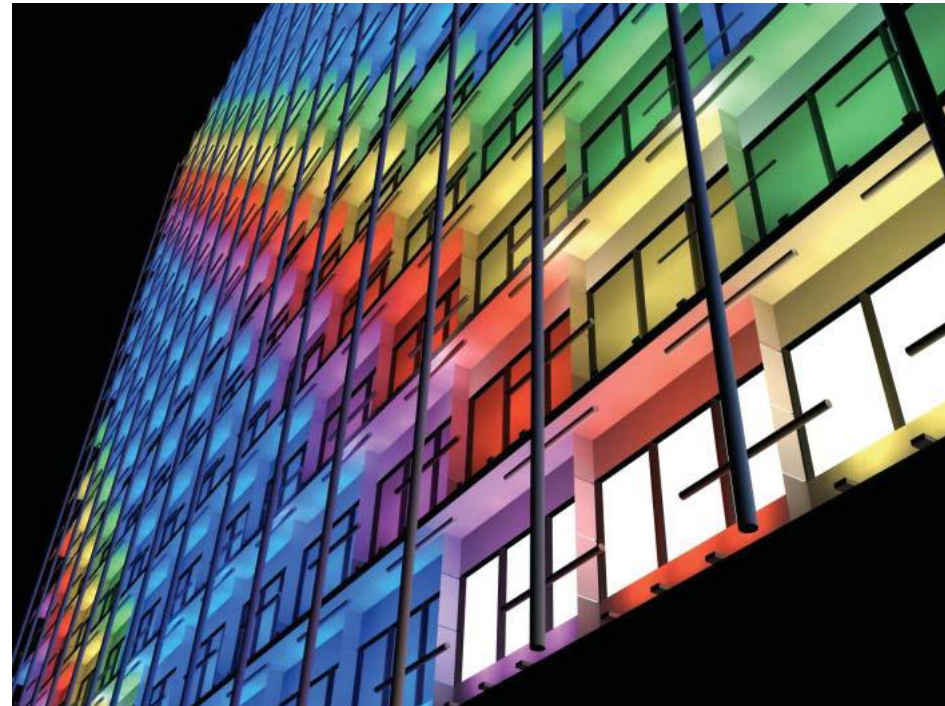


Fig. 17.8. Chromaticity diagram showing the determination of the *dominant color* and *color purity* of a light source with chromaticity coordinates (x, y) using the equal-energy locus ($x = 1/3, y = 1/3$) as the white-light reference. Also shown are typical locations of blue, green, and red LEDs.

ITU-R BT.709

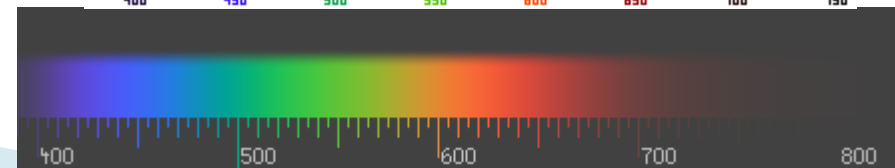
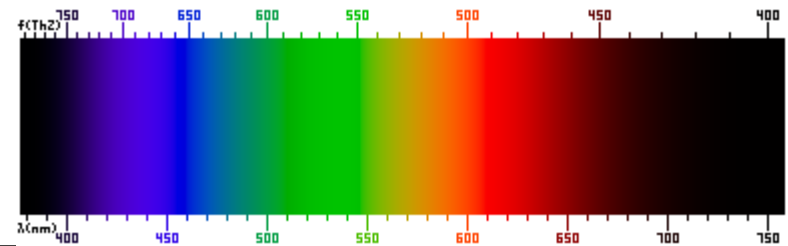


RGB values for Luxeon LEDs

| LED color | Dominant wavelength λ_D (nm) | RGB values |
|------------|---|------------------|
| Royal blue | 455 | 0.05, 0.00, 0.95 |
| Blue | 470 | 0.00, 0.11, 0.89 |
| Cyan | 505 | 0.00, 0.63, 0.37 |
| Green | 530 | 0.00, 0.77, 0.23 |
| Amber | 590 | 0.70, 0.30, 0.00 |
| Red-orange | 615 | 0.97, 0.00, 0.03 |
| Red | 625 | 0.92, 0.00, 0.08 |

Culori – lungime de unda (dominante)

| Culoare | Lungime de unda | Frecventa |
|------------|-----------------|---------------|
| Rosu | ~ 700-630 nm | ~ 430-480 THz |
| Portocaliu | ~ 630-590 nm | ~ 480-510 THz |
| Galben | ~ 590-560 nm | ~ 510-540 THz |
| Verde | ~ 560-490 nm | ~ 540-610 THz |
| Albastru | ~ 490-450 nm | ~ 610-670 THz |
| Violet | ~ 450-400 nm | ~ 670-750 THz |



Interpretarea standard a culorilor

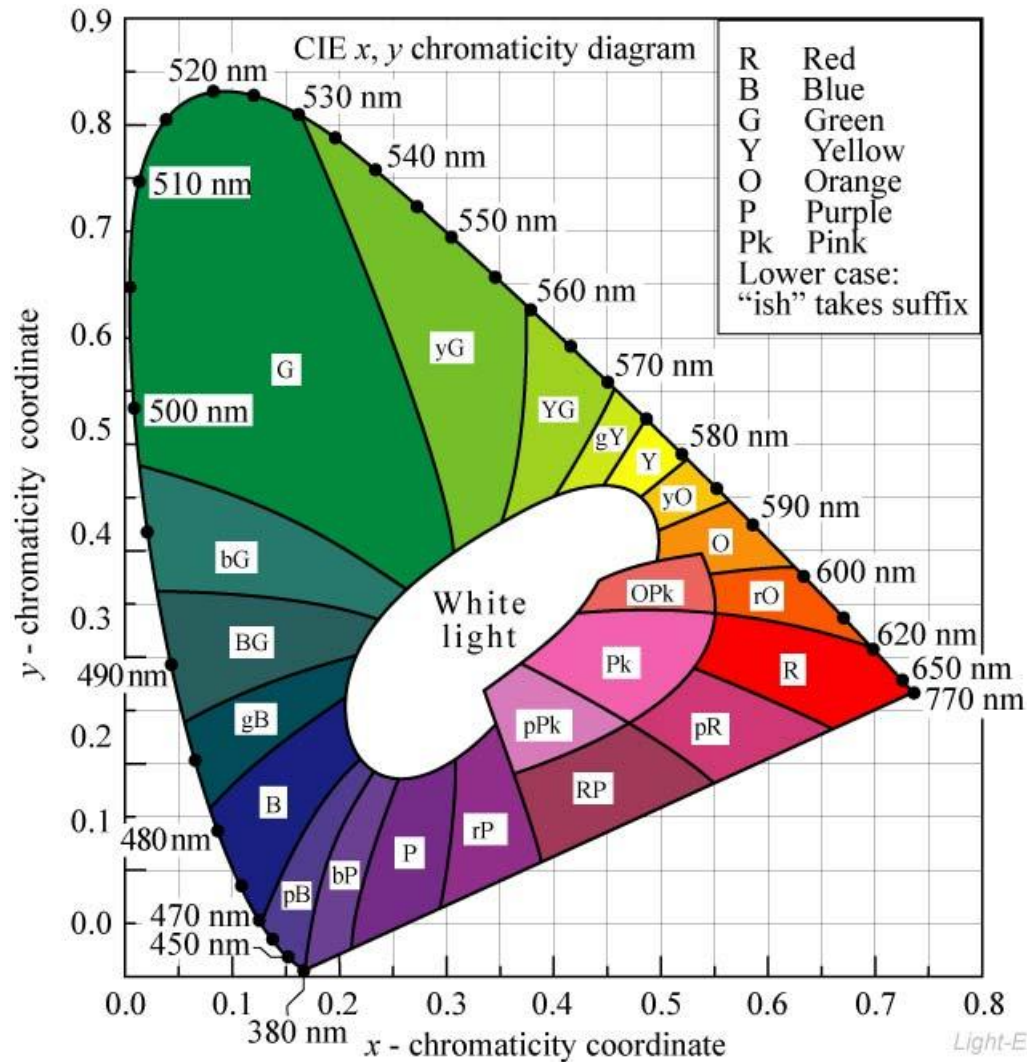


Fig. 17.3. 1931 CIE chromaticity diagram with areas attributed to distinct colors (adopted from Gage *et al.*, 1977).

Temperatura de culoare

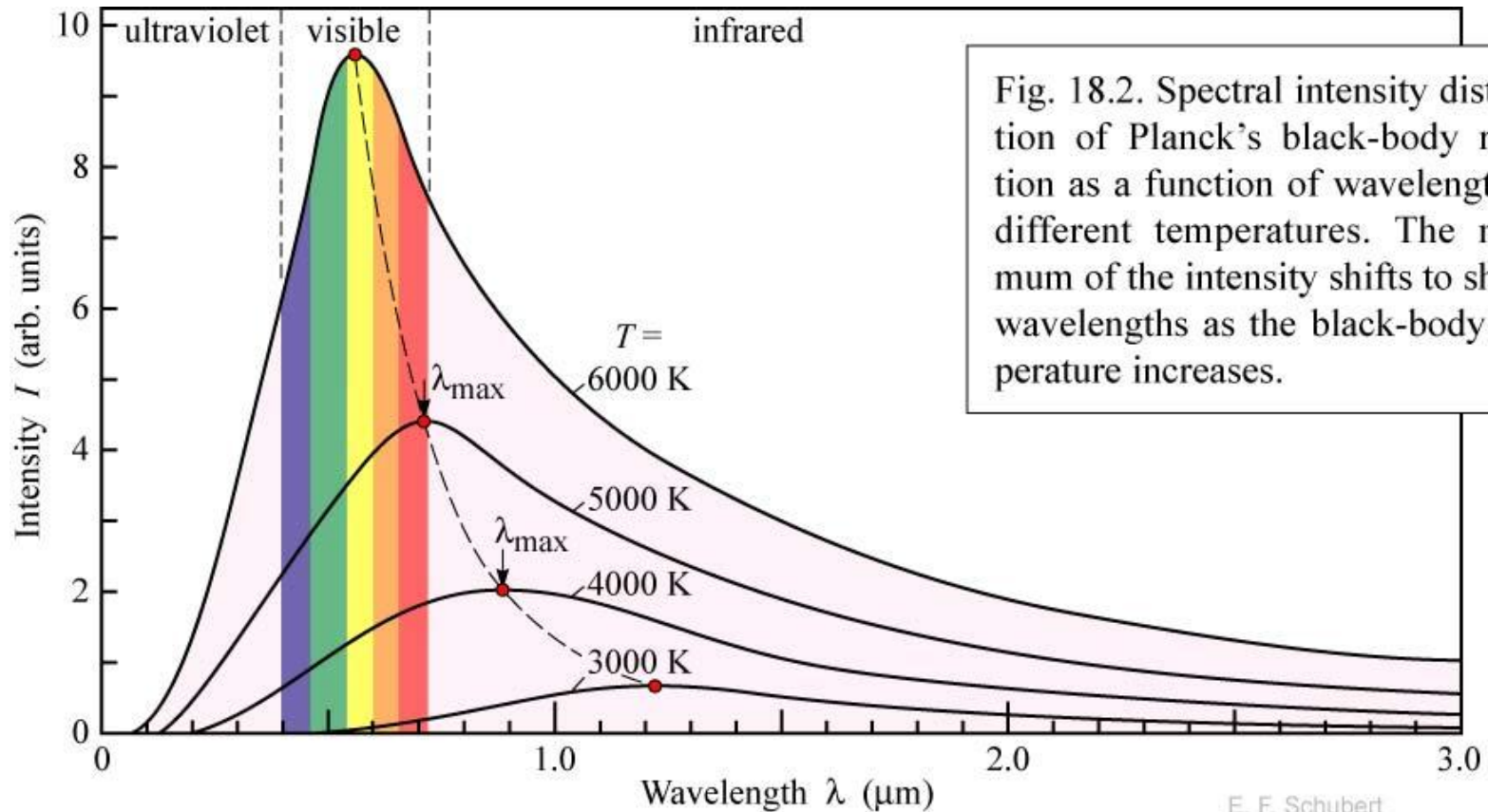
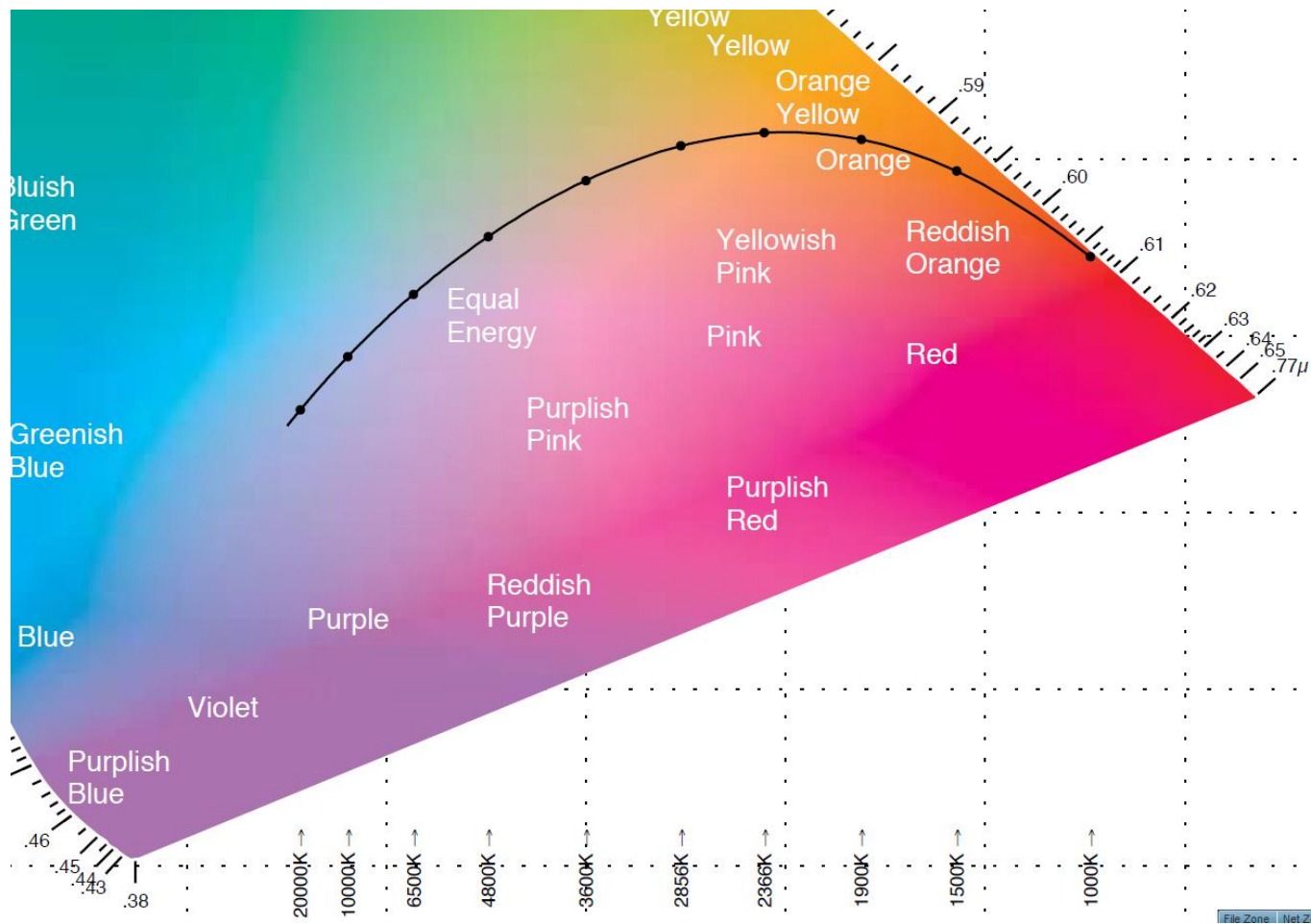
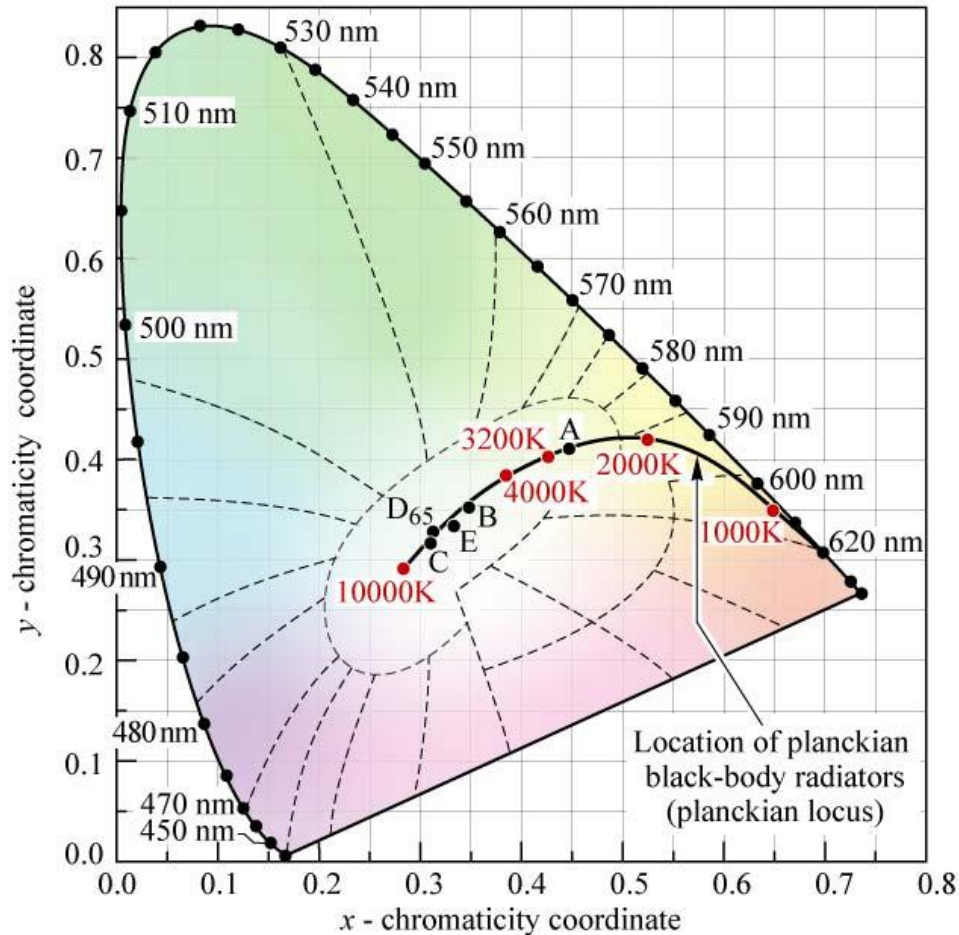


Fig. 18.2. Spectral intensity distribution of Planck's black-body radiation as a function of wavelength for different temperatures. The maximum of the intensity shifts to shorter wavelengths as the black-body temperature increases.

CIE xy 1931



Temperatura de culoare



Illuminant A
 $(x, y) = (0.4476, 0.4074)$
 (Incandescent source, $T = 2856$ K)

Illuminant B
 $(x, y) = (0.3484, 0.3516)$
 (Direct sunlight, $T = 4870$ K)


Illuminant C
 $(x, y) = (0.3101, 0.3162)$
 (Overcast source, $T = 6770$ K)

Illuminant D₆₅
 $(x, y) = (0.3128, 0.3292)$
 (Daylight, $T = 6500$ K)

Illuminant E (equal-energy point)
 $(x, y) = (0.3333, 0.3333)$

Fig. 18.3. Chromaticity diagram showing planckian locus, the standardized white Illuminants A, B, C, D₆₅, and E, and their color temperature (after CIE, 1978).

Lungimi de unda tipice – LED



| Wavelength (nm) | Color Name |
|-----------------|-----------------------|
| 940 | Infrared |
| 880 | Infrared |
| 850 | Infrared |
| 660 | Ultra Red |
| 635 | High Eff. Red |
| 633 | Super Red |
| 620 | Super Orange |
| 612 | Super Orange |
| 605 | Orange |
| 595 | Super Yellow |
| 592 | Super Pure Yellow |
| 585 | Yellow |
| 4500K | "Incandescent" White |
| 6500K | Pale White |
| 8000K | Cool White |
| 574 | Super Lime Yellow |
| 570 | Super Lime Green |
| 565 | High Efficiency Green |
| 560 | Super Pure Green |
| 555 | Pure Green |
| 525 | Aqua Green |
| 505 | Blue Green |
| 470 | Super Blue |
| 430 | Ultra Blue |

Relatie radiometrie/fotometrie

- ▶ Pentru radiatii monocromatice

$$\Phi_v = 683 \frac{lm}{W} \cdot \Phi_e [W] \cdot V(\lambda) \quad [lm]$$

- ▶ Pentru radiatii complexe:

$$\Phi_v = 683 \frac{lm}{W} \int_0^{\infty} \frac{d\Phi_e}{d\lambda} \cdot V(\lambda) d\lambda = 683 \frac{lm}{W} \int_{390nm}^{830nm} \frac{d\Phi_e}{d\lambda} \cdot V(\lambda) d\lambda \quad [lm]$$

- ▶ Eficienta luminoasa

$$\eta_v = \frac{\Phi_v [lm]}{\Phi_e [W]} \quad \left[\frac{lm}{W} \right]$$

Relatie radiometrie/fotometrie

▶ Eficienta luminoasa maxima

- scotopic: $K_m' = 1700 \text{ lm/W @ } 505 \text{ nm}$
- fotopic: $K_m = 683 \text{ lm/W @ } 555 \text{ nm}$
 - **683.002** lm/W; $540 \cdot 10^{12} \text{ Hz}$ ($\lambda = 555.016 \text{ nm}$)

▶ Eficienta luminoasa

$$\eta_v = \frac{\Phi_v [\text{lm}]}{\Phi_e [\text{W}]} = K_m \cdot V(\lambda) = 683 \frac{\text{lm}}{\text{W}} \cdot V(\lambda)$$

$$\eta_v' = \frac{\Phi_v [\text{lm}]}{\Phi_e [\text{W}]} = K_m' \cdot V'(\lambda) = 1700 \frac{\text{lm}}{\text{W}} \cdot V'(\lambda)$$

- ## ▶ Functiile de sensibilitate luminoasa sunt normalizate (valoarea 1 pentru sensibilitate maxima)

Radiometrie / fotometrie

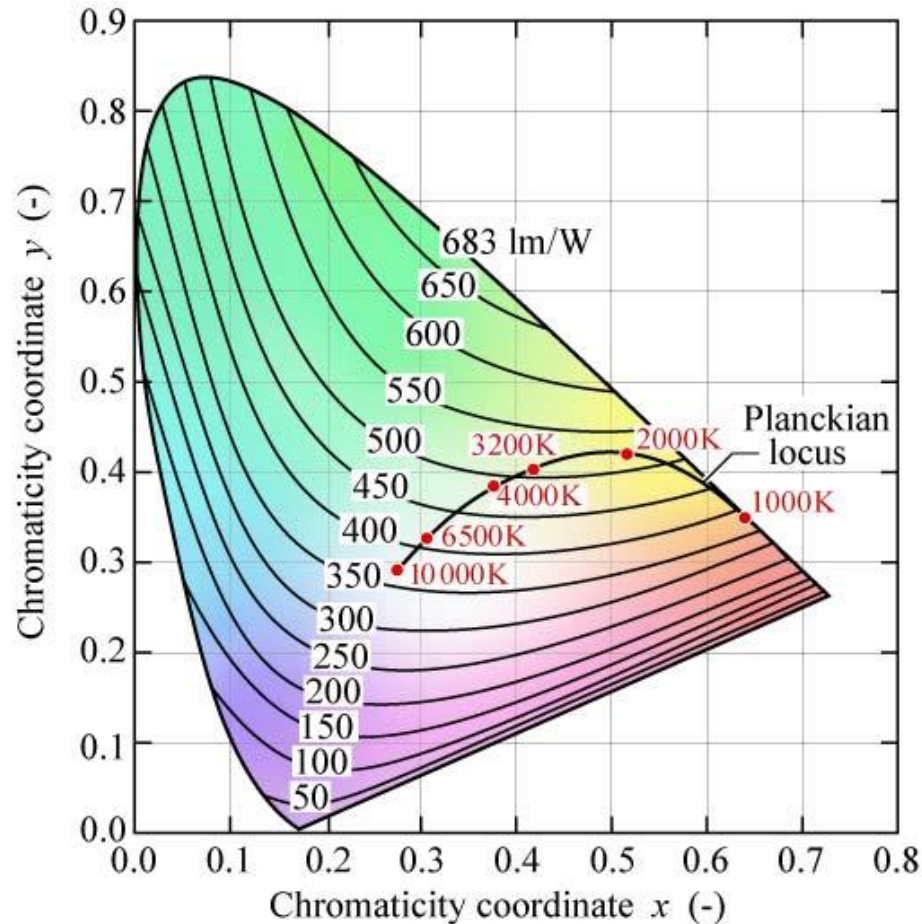


Fig. 16.8. Relation of maximum possible luminous efficacy (lumens per optical Watt) and chromaticity in the CIE 1931 x, y chromaticity diagram (adopted from MacAdam, 1950).

Eficiența luminoasă

| | λ | fotopic CIE 1924 | Sharpe 2005 | scotopic CIE 1951 |
|------------|-----------|---------------------|----------------|----------------------|
| Violet | 400 | 0 | 2 | 16 |
| Indigo | 445 | 20 | 40 | 668 |
| Albastru | 475 | 77 | 108 | 1248 |
| Verde | 510 | 344 | 361 | 1695 |
| Galben | 570 | 650 | 659 | 353 |
| Portocaliu | 590 | 517 | 541 | 111 |
| Rosu | 650 | 73 | 77 | 1 |

Marimi luminoase

► Intensitatea

- raportul dintre fluxul care părăsește sursa și se propagă într-un element de unghi solid ce conține direcția de propagare și elementul de unghi solid.
- o masura a puterii emise de o sursa într-un element de unghi solid

| Intensitatea | | | |
|---------------------------------|--------|---------------------------------|----------|
| Fotometrie | | Radiometrie | |
| $I_v = \frac{d\Phi_v}{d\Omega}$ | SI: cd | $I_e = \frac{d\Phi_e}{d\Omega}$ | SI: W/sr |

Marimi luminoase

► Iluminarea

- raportul dintre fluxul primit de un element de suprafață conținând punctul și aria acestui element (definita într-un punct al unei suprafețe la **receptie**):
- o masura a intensitatii luminii incidente pe o suprafata

| Iluminarea | | | |
|----------------------------|--------|----------------------------|----------------------|
| Fotometrie | | Radiometrie | |
| $E_v = \frac{d\Phi_v}{dS}$ | SI: lx | $E_e = \frac{d\Phi_e}{dS}$ | SI: W/m ² |

Marimi luminoase

► Excitanța

- raportul dintre fluxul care părăsește un element de suprafață conținând punctul și aria elementului de suprafață (definita într-un punct al unei suprafețe la emisie):
- o masura a intensitatii luminii emise de o suprafata

| Excitanța | | | |
|----------------------------|-----------------------|----------------------------|----------------------|
| Fotometrie | | Radiometrie | |
| $M_v = \frac{d\Phi_v}{dS}$ | SI: lm/m ² | $M_e = \frac{d\Phi_e}{dS}$ | SI: W/m ² |

Marimi luminoase

▶ Luminanța

- raportul dintre fluxul care părăsește, atinge sau traversează un element de suprafață și care se propagă în direcții conținute într-un con elementar, $d\Omega$, conținând direcția dată, și produsul dintre unghiul solid al conului și aria proiecției ortogonale a elementului de suprafață pe un plan perpendicular pe direcția dată, dS (definita într-o direcție, într-un punct de pe suprafața unei surse sau unui receptor, sau într-un punct pe traiectul unui fascicol):
- o masura a densitatii de intensitate luminoasa într-o anumita directie

| Luminanța | | | |
|--|-----------------------|--|--------------------------|
| Fotometrie | | Radiometrie | |
| $L_v = \frac{d^2\Phi_v}{d\Omega \cdot dS}$ | SI: cd/m ² | $L_e = \frac{d^2\Phi_e}{d\Omega \cdot dS}$ | SI: W/m ² /sr |

Probleme

- ▶ Panoul unui dispozitiv conține două LED-uri de semnalizare, unul de culoare verde și unul roșu standard. Doriți ca ambele să ofere aceeași luminozitate relativă și cât mai mare posibilă. Dacă ambele LED-uri acceptă un curent maxim de 50 mA, calculați curentul prin cele două LED-uri.
- ▶ Rezolvari: <http://rf-opto.etti.tuiasi.ro>

Probleme

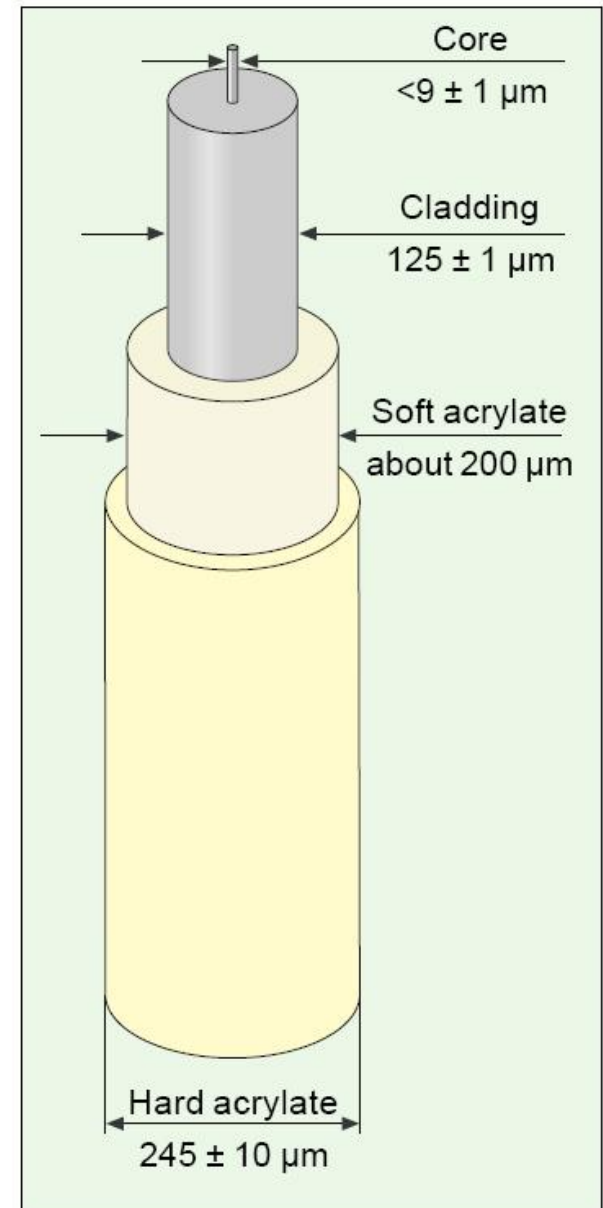
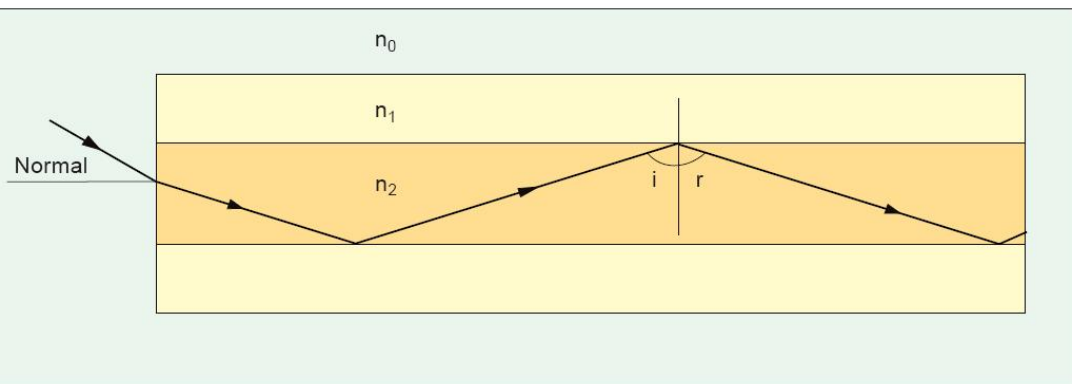
- ▶ Trebuie să proiectați un semafor cu LED-uri. LED-urile care intră în componența sa sunt caracterizate de eficiență cuantică egală (aceeași tehnologie), iar parametrii de catalog pentru LED-ul roșu sunt ...
- ▶ Proiectați semaforul, pentru a obține o iluminare la 5m, pe direcție normală, de 50 lx pe timp de zi și 2 lx pe timp de noapte.
- ▶ Cerințe: luminozitate egală pentru cele 3 culori, alegerea numărului de LED-uri (considerente electronice/practice), necesitățile de curent ale fiecărui LED, parametrii pentru sursa de alimentare, parametrii unui sistem de control a intensității luminoase pentru reglare zi/noapte.
- ▶ Rezolvari: <http://rf-opto.etti.tuiasi.ro>

Fibra optică

Capitolul 5

Fibra optica

- ▶ un ghid de unda dielectric
 - miez
 - teaca



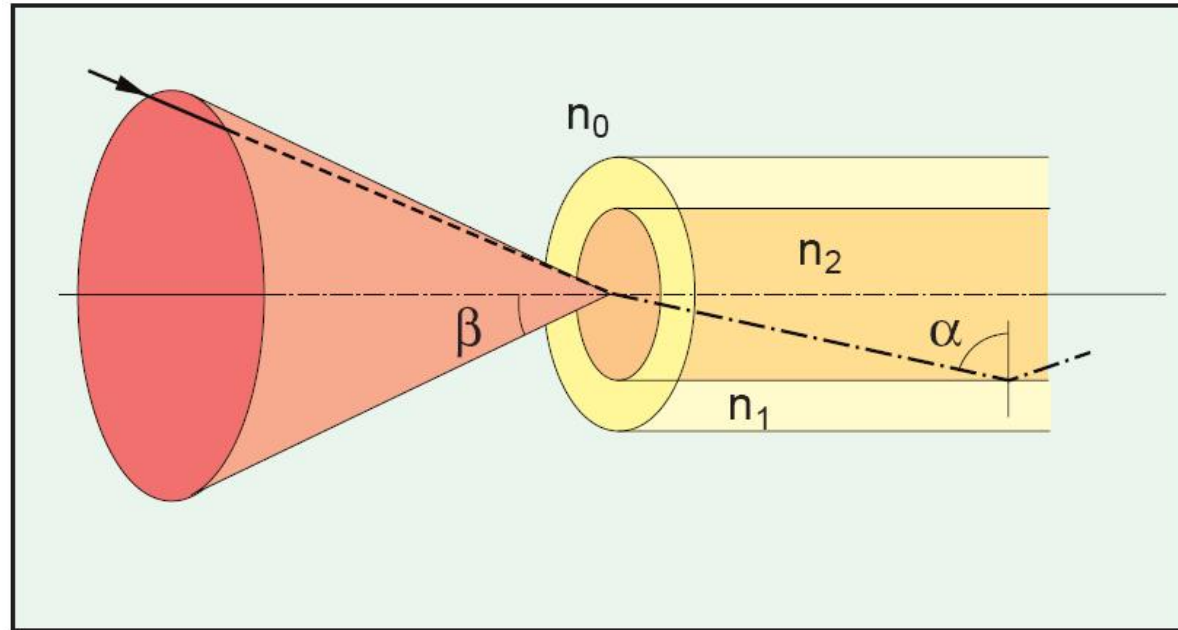
Unghi de acceptanta, apertura numerica

- ▶ Unghi de acceptanta

$$n_0 \cdot \sin \theta_{ACC} = n_1 \cdot \sin \phi_c$$

- ▶ Apertura numerica

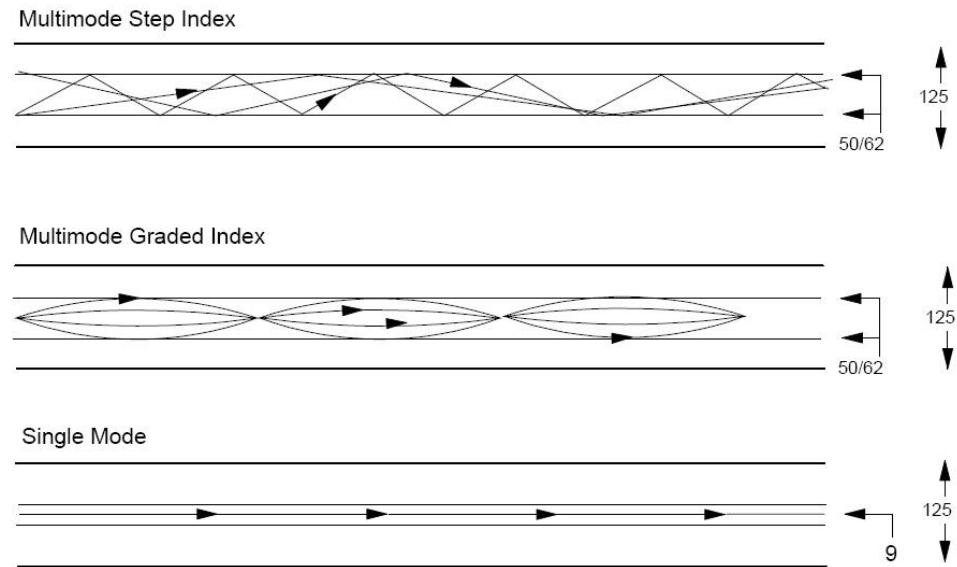
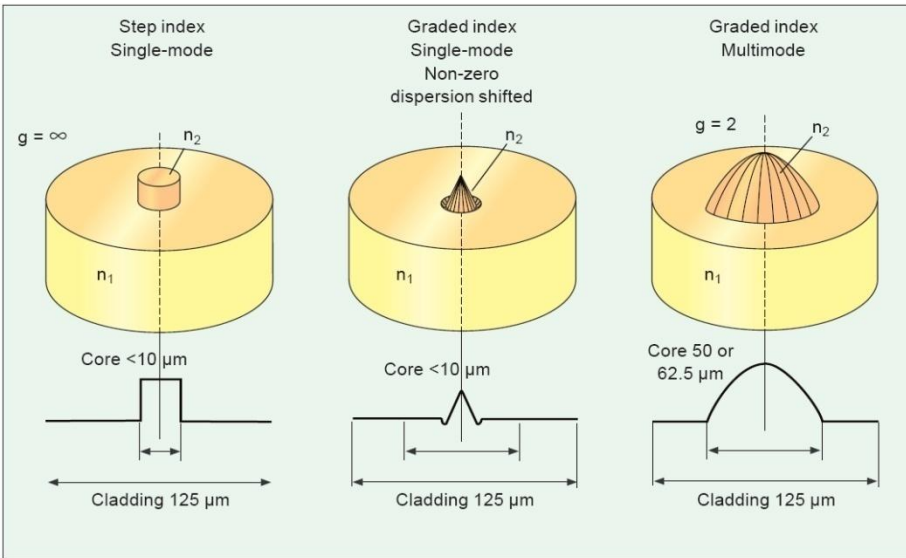
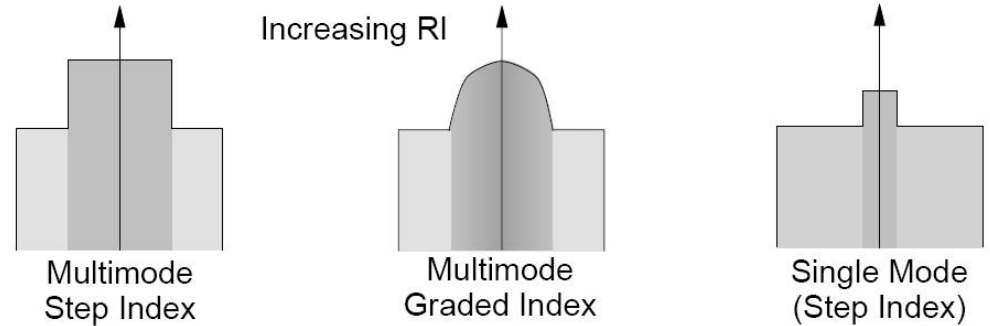
$$NA = n_0 \cdot \sin \theta_{ACC}$$



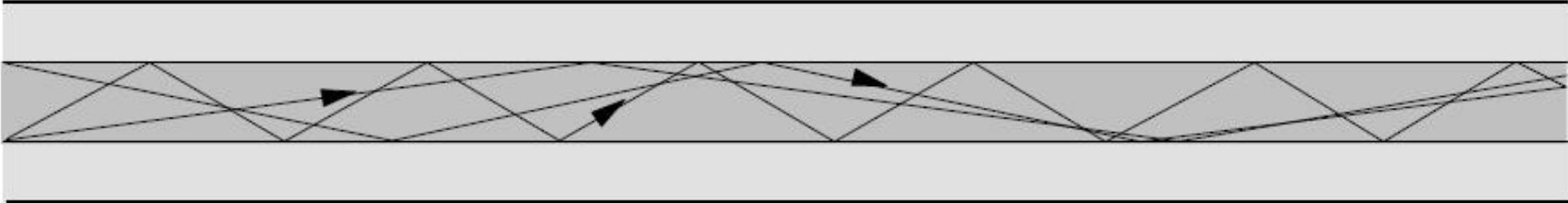
$$NA = n_2 \sqrt{\frac{n_2^2 - n_1^2}{n_2^2}} = \sqrt{n_2^2 - n_1^2}$$

Tipuri de fibra

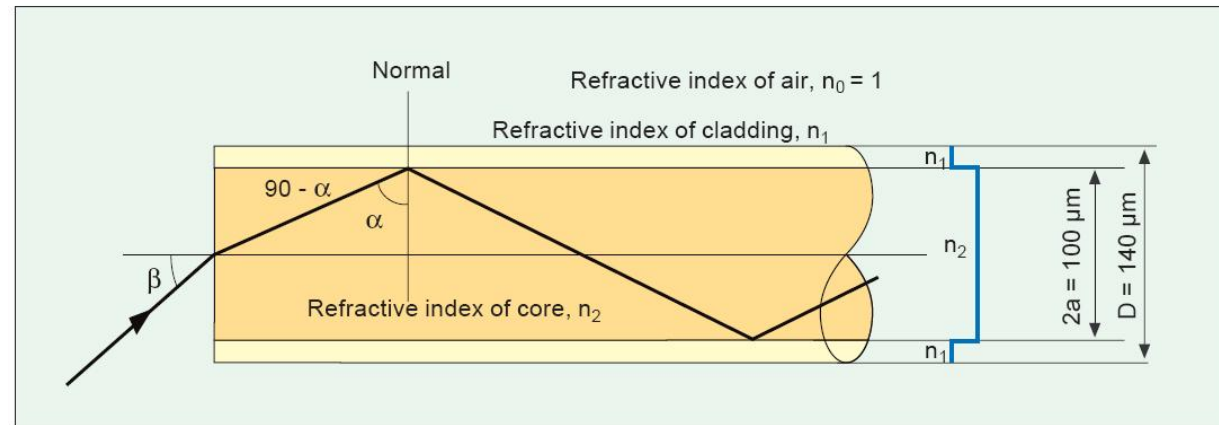
- ▶ Monomod
- ▶ Multimod
 - cu salt de indice
 - cu indice gradat



Fibre multimod cu salt de indice



- ▶ 50/125 sau 62.5/125 (μm)
- ▶ 15–50 MHz km

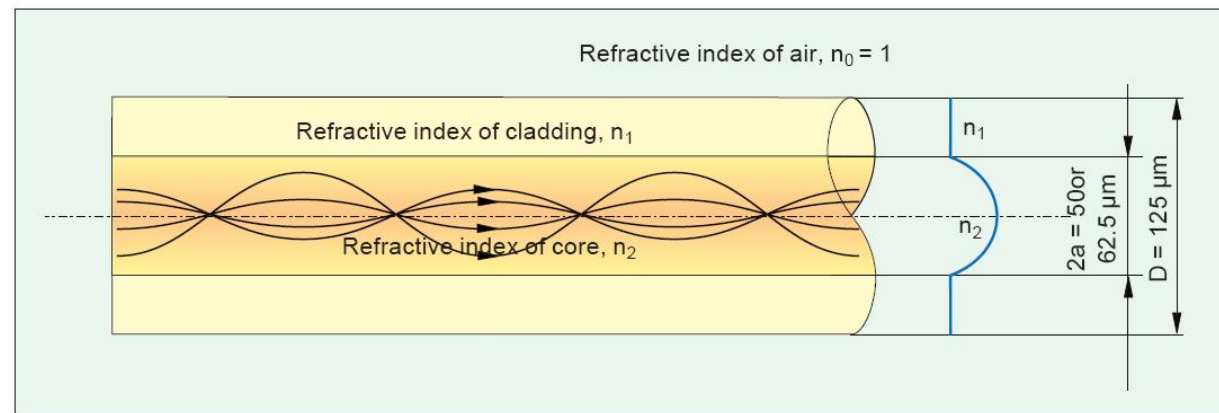


| | glass | plastic |
|---------------------------------|-------------------|--------------------|
| core diameter $2a$ | 100 μm | 980 μm |
| cladding diameter D | 140 μm | 1000 μm |
| core refractive index n_2 | 1.48 | |
| cladding refractive index n_1 | 1.45 | |

Fibre multimod cu indice gradat



- ▶ 50/125 sau 62.5/125 (μm)
- ▶ 700–1200 MHz km



| | |
|--|--------------------------|
| Core diameter $2a$ | 50 or 62.5 μm |
| Cladding diameter D | 125 μm |
| Maximum refractive index, core | 1.46 |
| Relative differential refractive index | 0.010 |

Fibre multimod cu indice gradat

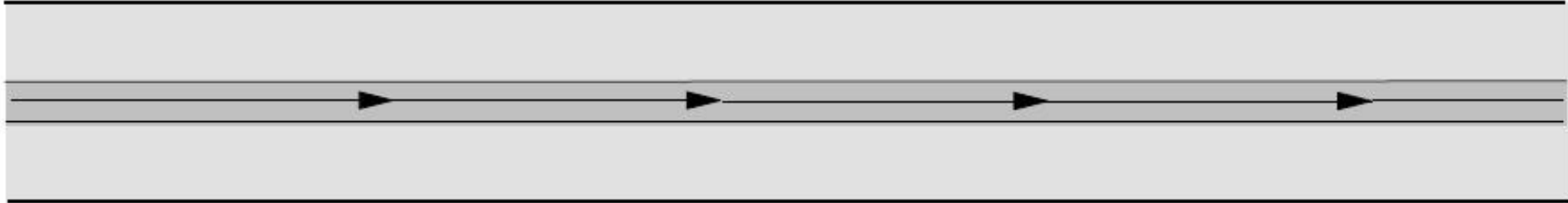


$$n(r) = n_2 \left[1 - \Delta \left(\frac{r}{a} \right)^g \right]$$

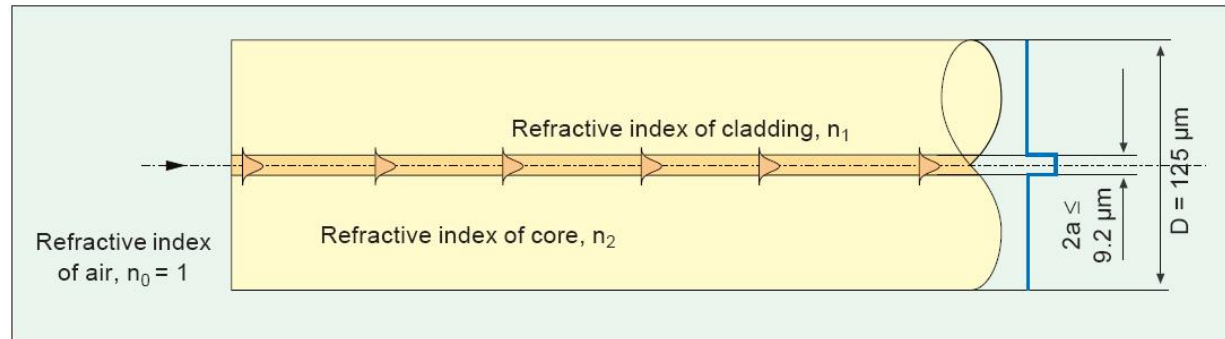
$$\Delta = \frac{NA^2}{2n_2^2} = \frac{n_2^2 - n_1^2}{2n_2^2} \approx \frac{n_2 - n_1}{n_2} \approx \frac{\Delta n}{n} \quad \text{for } \Delta \ll 1$$

- ▶ $g = 1$ - indice gradat triunghiular
- ▶ $g = 2$ - indice gradat parabolic
- ▶ $g = \infty$ - salt de indice

Fibre monomod



- ▶ 6–8/125 (μm)
- ▶ MHz km
nerelevant
- ▶ MFD – Mode
Field Diameter



| | |
|---------------------------------|-------------------|
| Cladding diameter D | 125 μm |
| Core refractive index n_2 | 1.4485 |
| Cladding refractive index n_1 | 1.4440 |
| Refractive index differential | 0.003 = 0.3% |

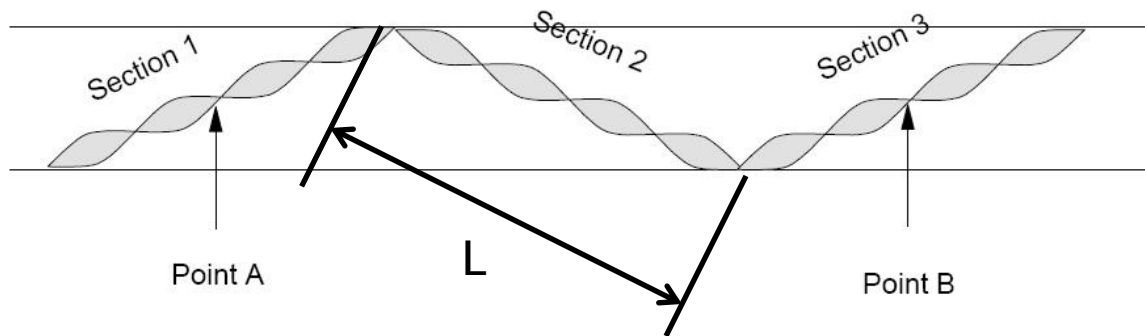
Frecventa normalizata

► Frecventa normalizata

$$V = 2\pi \frac{a}{\lambda} NA = k \cdot a \cdot NA \quad a - \text{raza miezului}$$

$$k = \frac{2\pi}{\lambda}$$

► Numar de moduri



$$L = m \cdot \lambda$$

$$N \approx \frac{V^2}{2} \cdot \frac{g}{g+2}$$

Frecventa normalizata

- ▶ Numar de moduri
 - Multimod cu salt de indice

$$g = \infty \Rightarrow N \approx \frac{V^2}{2}$$

- Multimod cu indice gradat

$$g = 2 \Rightarrow N \approx \frac{V^2}{4}$$

- Monomod

$V \leq V_c = 2.405$ exista un singur mod (solutii fc. Bessel)

Exemplu

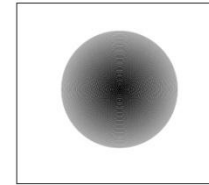
- ▶ fibra tipica multimod
 - $g=2$
 - $2a = 50\mu\text{m} \rightarrow a = 25\mu\text{m}$
 - $NA = 0.2$ la $\lambda = 1\mu\text{m}$

$$V = 2\pi \frac{a}{\lambda} NA = 2\pi \frac{25}{1} 0.2 = 2 \cdot \pi \cdot 5 \approx 31.4$$

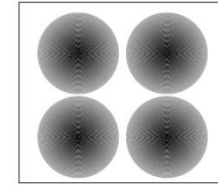
$$g = 2 \Rightarrow N = \frac{V^2}{4} = \frac{31.4^2}{4} = 247$$

Moduri in fibra

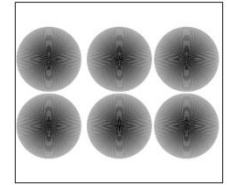
- ▶ Moduri in ghid rectangular



TEM₀₀

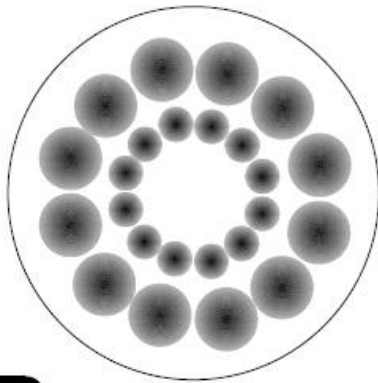


TEM₁₁

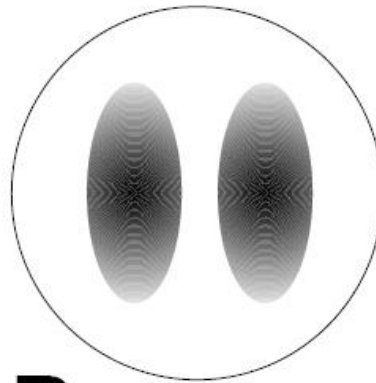


TEM₂₁

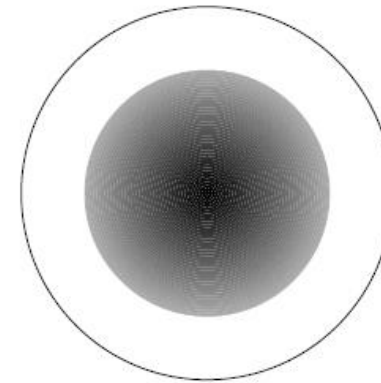
- ▶ Moduri linear polarizate in fibra



LP₆₂

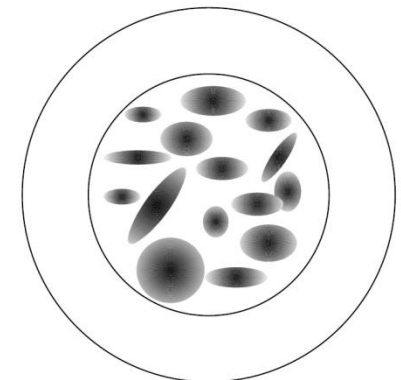


LP₁₁



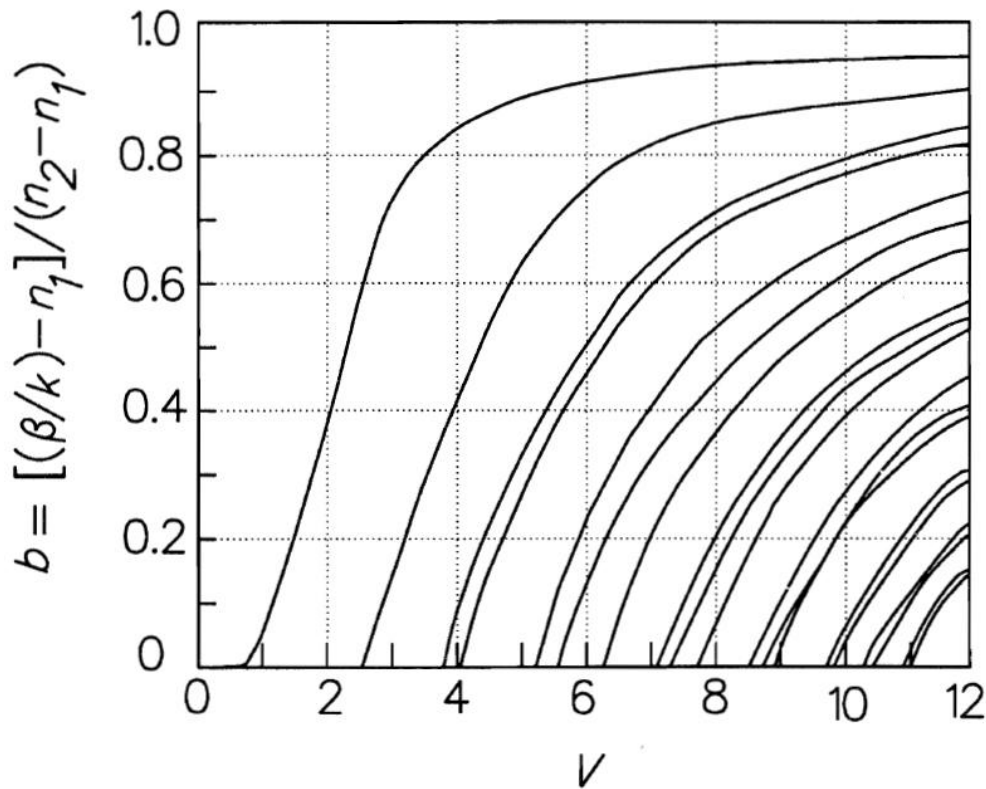
LP₀₁

“Sparkle” pattern



Frecventa normalizata – monomod

► Fibre monomod



b – coeficient de propagare modal relativ

$$V \leq V_c = 2.405$$

exista un singur mod (solutii fc. Bessel)

$$\lambda \geq \lambda_c = \pi \frac{2a}{V_c} NA = \pi \frac{2a}{2.405} NA$$

Exemplu:

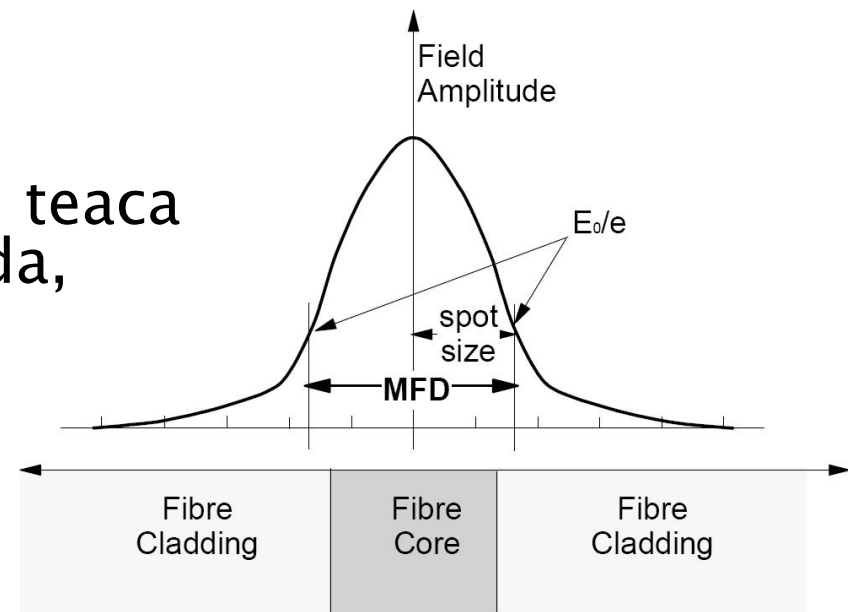
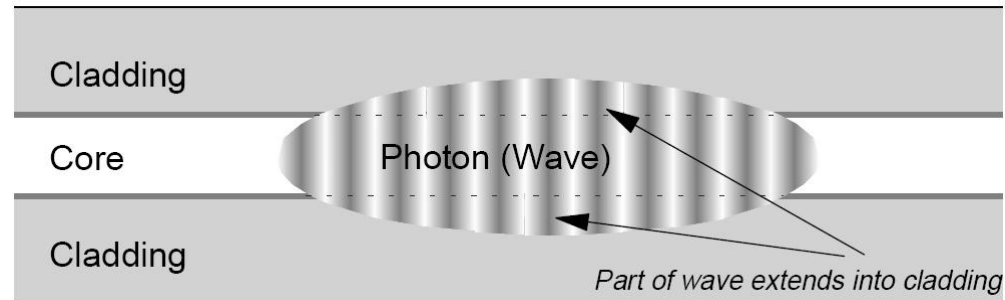
$$2a = 8.5 \mu\text{m}$$

$$NA = 0.11$$

$$\lambda_c = \pi \frac{8.5}{2.405} 0.11 = 1210 \text{nm}$$

Propagarea in fibra monomod

- ▶ Propagarea luminii poate fi explicata doar prin teoria electromagnetica
- ▶ Energia campului se extinde in teaca (diametrul efectiv al spotului luminos – MFD, Mode Field Diameter)
- ▶ $MFD > 2a$
- ▶ Adancimea de patrundere in teaca depinde de lungimea de unda, generand dispersia de ghid



Contact

- ▶ Laboratorul de microunde si optoelectronica
- ▶ <http://rf-opto.etti.tuiasi.ro>
- ▶ rdamian@etti.tuiasi.ro